

序論

力学

ニュートンの運動方程式

$$m \frac{d^2 \vec{r}(t)}{dt^2} = \vec{F}$$

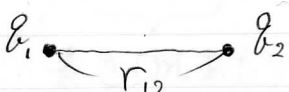
 \vec{F} : 力 $\rightarrow r(t)$ 例 万有引力 \rightarrow 惑星の運動

ほとんどすべての運動を説明

適用限界

- 光の速さくらい速い運動 \rightarrow 特殊相対性理論
 - 分子や原子くらい小さい世界 \rightarrow 量子力学
 - 光などの電磁波 \longrightarrow 古典場の理論
- } 量子場の理論

Coulomb の法則



$$\vec{F}_{12} = k \frac{q_1 q_2}{r_{12}^2}$$

 k : 比例定数

$$\vec{F}_{12} = q_1 \vec{E}, \quad \vec{E} = k \frac{q_2}{r_{12}}$$

 E : 電場

定常電流間の力

 \rightarrow 磁場 B を使って説明電場 $\vec{E}(\vec{r}, t)$ 磁場 $\vec{B}(\vec{r}, t)$ はMaxwell 方程式で
記述できる物理的実在
である。

遠隔作用 → 近接作用

重要な例：電磁波

- 量子場の理論では電子などの粒子も量子的な場で記述される。
- 「強い相互作用」、「弱い相互作用」も量子場の理論で記述される。

万有引力は？

重力場

一般相対性理論

↑ 量子場の理論では
融合できない。

量子力学

⇒ 候補：超弦理論

Maxwell 方程式

$$\left\{ \begin{array}{l} \vec{\nabla} \times \vec{E} + \frac{\partial \vec{B}}{\partial t} = 0 \\ \epsilon_0 \vec{\nabla} \cdot \vec{E} - \rho = 0 \\ \vec{\nabla} \times \vec{B} - \epsilon_0 \mu_0 \frac{\partial \vec{E}}{\partial t} = \mu_0 \vec{j} \\ \vec{\nabla} \cdot \vec{B} = 0 \end{array} \right. \quad \begin{array}{l} \rho: \text{電荷密度} \\ j: \text{電流密度} \\ \epsilon_0: \text{真空中の誘電率} \\ \mu_0: \text{真空中の透磁率} \end{array}$$

Lorentz 力 $\varrho(\vec{E} + \vec{v} \times \vec{B})$

積分形

$$\int_{\text{as}} \vec{E} \cdot d\vec{r} = - \int_S \frac{\partial \vec{B}}{\partial t} \cdot d\vec{s}$$

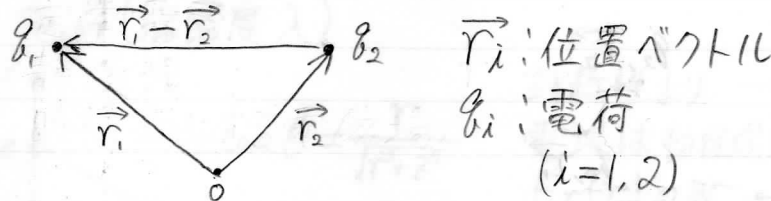
$$\epsilon_0 \int_{\text{av}} \vec{E} \cdot d\vec{s} = \int_V \rho dV$$

$$\int_{\text{as}} \vec{B} \cdot d\vec{r} = \mu_0 \int (j + \epsilon_0 \frac{\partial \vec{E}}{\partial t}) \cdot d\vec{s}$$

$$\int_S \vec{B} \cdot d\vec{s} = 0$$

§1 静電場

§1.1 Coulombの法則



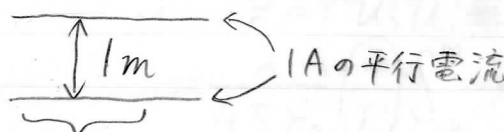
$$\vec{F}_{12} = k q_1 q_2 \frac{\vec{r}_1 - \vec{r}_2}{|\vec{r}_1 - \vec{r}_2|^3}, k > 0$$

q_2 が q_1 におよぼす力

電荷の単位

国際単位系(SI)

電流 1A を定義



長さ 1m あたりに 2.0×10^{-9} N の力を
およぼしあう。

電荷 1C: 1A の電流が
1秒間にはこぶ
電荷の量
(C = A · s)

$$k = 8.988 \times 10^9 \text{ N} \cdot \text{m}^2/\text{C}^2$$

$$k = \frac{1}{4\pi\epsilon_0} \quad \epsilon_0: \text{真空の誘電率}$$

$$\epsilon_0 = 8.854 \times 10^{-12} \text{ C}^2/\text{Nm}^2$$

$$\vec{F}_{12} = \frac{q_1 q_2}{4\pi\epsilon_0} \frac{\vec{r}_1 - \vec{r}_2}{|\vec{r}_1 - \vec{r}_2|^3}$$

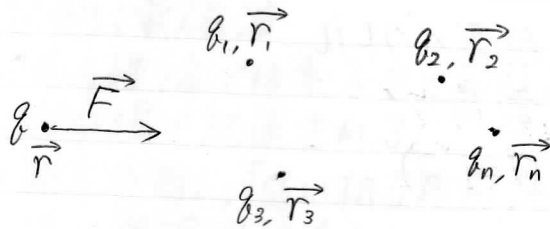
$$k = 8.98755 \text{ Nm}^2/\text{C}^2$$

$$\text{光速 } C = 2.99792 \times 10^8 \text{ m/s}$$

$$C^2 = 8.98755 \times 10^{16} \text{ m/s}$$

$$\epsilon = \frac{10^9}{4\pi C^2} \quad \text{実験値} \rightarrow \text{定義値}$$

重ねあわせの原理



$$\vec{F} = \frac{q}{4\pi\epsilon_0} \sum_{i=1}^n \frac{q_i(\vec{r}-\vec{r}_i)}{|\vec{r}-\vec{r}_i|^3}$$

(\vec{F}_{12} が q_1 や q_2 に比例している)
ことも重ねあわせの原理のあらわれ)

電場 (electric field, 電界) $\vec{E}(\vec{r})$

$$\vec{F}(\vec{r}) = q \vec{E}(\vec{r})$$

$$\vec{E}(\vec{r}) = \frac{1}{4\pi\epsilon_0} \sum_{i=1}^n \frac{q_i(\vec{r}-\vec{r}_i)}{|\vec{r}-\vec{r}_i|^3}$$

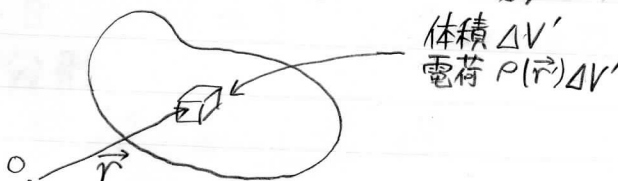
$E(\vec{r}, t)$: ベクトル場

$$\vec{E} = (E_x, E_y, E_z)$$

↑ ↑
 \vec{r}, t の関数

電荷の連続的な分布

$P(\vec{r})$: 電荷密度 (スカラーフィールド)



$$\vec{E}(\vec{r}) = \frac{1}{4\pi\epsilon_0} \int \frac{\vec{r}-\vec{r}_i}{|\vec{r}-\vec{r}_i|^3} P(\vec{r}') dV'$$

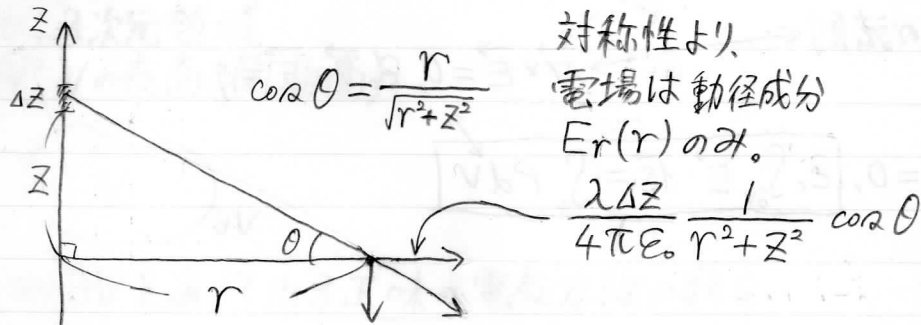
体積積分 (3次元積分)

$$dV' = dx' dy' dz'$$

$E_x(x, y, z)$ (デカルト座標)

$$= \frac{1}{4\pi\epsilon_0} \iiint \frac{(x-x') P(x', y', z')}{{[(x-x')^2 + (y-y')^2 + (z-z')^2]}^{3/2}} dx' dy' dz'$$

例：直線上に一様に分布した電荷（線密度入）



対称性より、
電場は軸径成分
 $E_r(r)$ のみ。

$$\frac{\lambda \Delta z}{4\pi \epsilon_0} \frac{1}{r^2 + z^2} \cos \theta$$

$$E_r(r) = \frac{\lambda}{4\pi \epsilon_0} \int_{-\infty}^{\infty} \frac{1}{r^2 + z^2} \frac{r}{\sqrt{r^2 + z^2}} dz$$

$$z = r u \quad (u: \text{無次元})$$

$$= \frac{\lambda}{4\pi \epsilon_0} \left(\frac{1}{r} \right) \int_{-\infty}^{\infty} \frac{1}{(1+u^2)^{3/2}} du$$

r 依存性は $\frac{1}{r}$ 。

$$u = \tan \theta \text{ と } \leftarrow (\text{図の } \theta \text{ に対応})$$

$$\int_{-\infty}^{\infty} \frac{du}{(1+u^2)^{3/2}} = \int_{-\frac{\pi}{2}}^{\frac{\pi}{2}} \frac{\cos^3 \theta}{\cos^2 \theta} d\theta = 2.$$

$$\therefore E_r(r) = \frac{\lambda}{2\pi \epsilon_0} \frac{1}{r}$$

§1.2 Gauss の法則

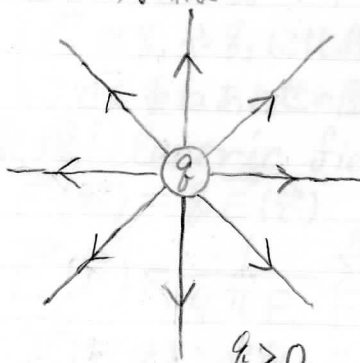
§1 の目標

Coulomb の法則

$$\vec{\nabla} \times \vec{E} = 0, \epsilon_0 \vec{\nabla} \cdot \vec{E} = \rho$$

$$\int_c \vec{E} \cdot d\vec{r} = 0, \boxed{\epsilon_0 \int_{av} \vec{E} \cdot d\vec{s} = \int_V \rho dV}$$

電気力線



接線：電場の向き
密度：電場の強さに比例

半径 r の球の表面を通過する電気力線の総数

$$\propto \underbrace{E}_{\text{密度}} \times \underbrace{4\pi r^2}_{\text{表面積}}$$

$$= \frac{1}{4\pi\epsilon_0} \cdot \frac{q}{r^2} \times 4\pi r^2 = \frac{q}{\epsilon_0} = \text{一定}.$$

途中で増えたり減ったりしない。

($E \propto \frac{1}{r^2}$ であることが本質的)

簡単にするため、電荷 q ($q > 0$) から、

q 本の電気力線が出ているとすると。

Gauss の法則

(直感的な説明)

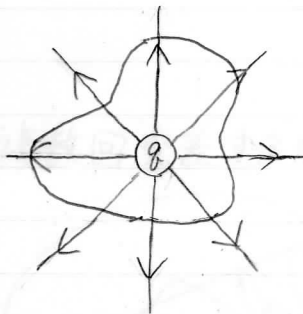
V : 3次元領域

∂V : V の表面(閉曲面)

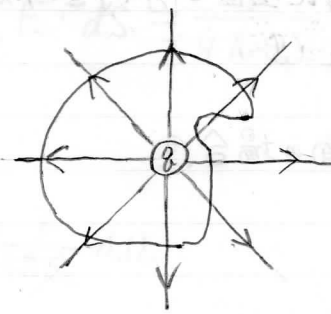


V から ∂V を通して出る正味の電気力線の数を
 N とする。

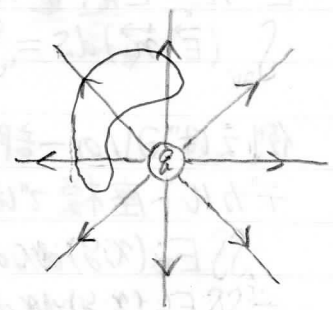
(出る本数) - (入る本数)



$$N = 8 \text{ 本}$$



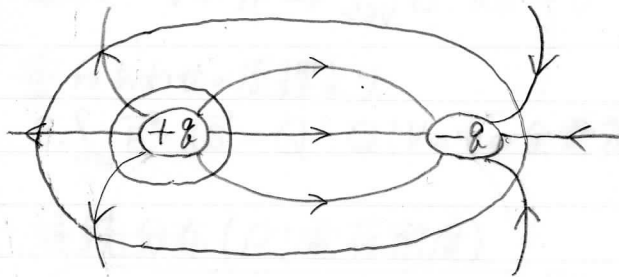
$$N = 8 \text{ 本}$$



$$N = 0 \text{ 本}$$

重ねあわせの原理より、

$$N = \sum (V \text{ 中に} \text{ある電荷})$$

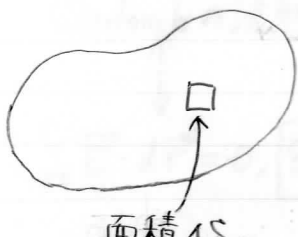
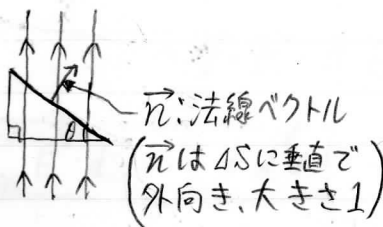


No. 8

Date

電場を使って表す。

↑電気力線の密度

面積 ΔS 

$$\text{電気力線の本数} \\ \propto |\vec{E}| \Delta S \cos \theta \\ = \vec{E} \cdot \vec{n} \Delta S$$

$$\sum \vec{E} \cdot \vec{n} \Delta S \xrightarrow{\Delta S \rightarrow 0} \int_{\partial V} (\vec{E} \cdot \vec{n}) dS$$

面積分

$$\vec{E} \cdot \vec{n} = E_n: \text{電場の面に垂直で外向きの成分}$$

$$\int_{\partial V} (\vec{E} \cdot \vec{n}) dS = \int_{\partial V} E_n dS$$

例えば ∂V の一部が平面の場合、

"カルト座標" では、

$$\iint E_n(x, y) dx dy$$

$$= \iint E_z(x, y) dx dy$$

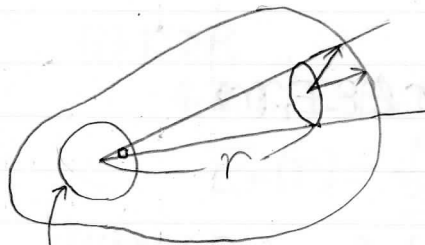
 $\vec{n} \Delta S = \vec{dS}$: 面積要素ベクトル

$$\int_{\partial V} (\vec{E} \cdot \vec{n}) dS = \int_{\partial V} E_n dS$$

$$= \int_{\partial V} \vec{E} \cdot \vec{dS}$$

(面積分の色々な)
表記法

電荷 q の点電荷



半径1の球面

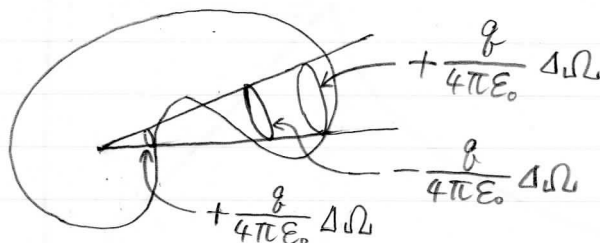
$$\begin{aligned}\vec{E} \cdot \vec{dS} &= |E| \Delta S \cos \theta \\ &= \frac{1}{4\pi\epsilon_0} \frac{q}{r^2} \Delta S \cos \theta \\ &= \frac{1}{4\pi\epsilon_0} q \Delta \Omega\end{aligned}$$

$$\Delta \Omega = \frac{1}{r^2} \Delta S \cos \theta \text{ (無次元量)}$$

半径1の球面から切り取る面積
立体角(単位:steradian)

$$\int_{\partial V} \vec{E} \cdot \vec{dS} = \frac{q}{4\pi\epsilon_0} \underbrace{\int d\Omega}_{4\pi} = \frac{q}{\epsilon_0}$$

複数回交差する場合



$$\text{電荷が } V \text{ の中} \Rightarrow \int_{\partial V} \vec{E} \cdot \vec{dS} = \frac{q}{\epsilon_0}$$

$$\text{電荷が } V \text{ の外} \Rightarrow \int_{\partial V} \vec{E} \cdot \vec{dS} = 0$$

重ねあわせの原理より、

$$\epsilon_0 \int_{\partial V} \vec{E} \cdot \vec{dS} = Q \quad Q: V \text{ の中の全電荷}$$

連続分布(ρ :電荷密度)

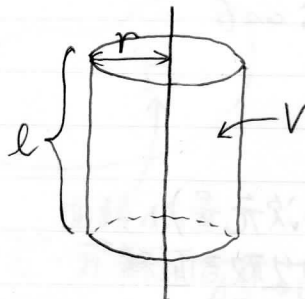
$$\boxed{\epsilon_0 \int_{\partial V} \vec{E} \cdot \vec{dS} = \int_V \rho dV} \quad \text{Gauss の法則 (積分形)}$$

$$\vec{D} = \epsilon_0 \vec{E} \quad \text{電束密度}$$

$$\boxed{\int_{\partial V} \vec{D} \cdot \vec{dS} = \int_V \rho dV}$$

誘電体を考えるときに有用

例1. 直線上に一様に分布した
電荷(線密度 λ)



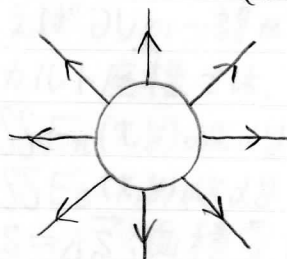
$$\epsilon_0 \int_{\partial V} \vec{E} \cdot d\vec{S} = 2\pi r l \epsilon_0 E_r(r)$$

$$\int_V \rho dV = \lambda l$$

$$2\pi r l \epsilon_0 E_r(r) = \lambda l$$

$$E_r(r) = \frac{\lambda}{2\pi\epsilon_0} \cdot \frac{1}{r}$$

例2. 半径Rの球面上に
一様に分布した電荷
(全電荷Q)



V を半径 r の球とする。

$$\epsilon_0 \int_{\partial V} \vec{E} \cdot d\vec{S} = 4\pi r^2 \epsilon_0 E_r(r)$$

(i) $r > R$

$$4\pi r^2 \epsilon_0 E_r(r) = Q$$

$$E_r(r) = \frac{1}{4\pi\epsilon_0} \frac{Q}{r^2}$$

(ii) $r < R$

$$4\pi r^2 \epsilon_0 E_r(r) = 0$$

$$E_r(r) = 0$$

例3. 半径 R の球内に一様に分布した電荷
(密度 P)

(i) $r > R$

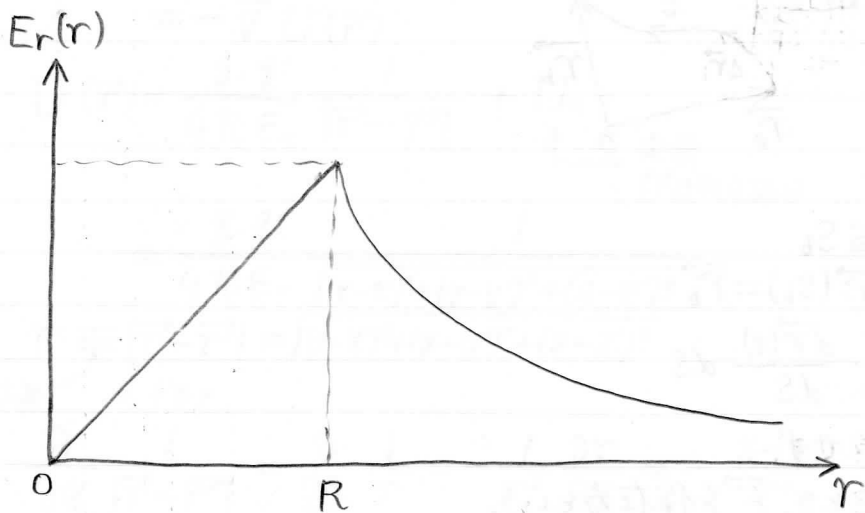
$$4\pi r^2 \epsilon_0 E_r(r) = \frac{4}{3} \pi R^3 P$$

$$E_r(r) = \frac{PR^3}{3\epsilon_0} \frac{1}{r^2}$$

(ii) $r < R$

$$4\pi r^2 \epsilon_0 E_r(r) = \frac{4}{3} \pi r^3 P$$

$$E_r(r) = \frac{P}{3\epsilon_0} r$$



§ 1.3 電位

保存力(復習)

力 \vec{F} が \vec{r} のみの関数
の場合を考える。

(速度 $\frac{d\vec{r}}{dt}$ や時間に
あらわに依存しない)

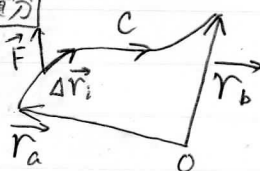
$\vec{F}(\vec{r})$: ベクトル場

質点が \vec{r}_a から \vec{r}_b へ経路 C で

移動したときに力 $\vec{F}(\vec{r})$ がした仕事 W

$$W = \int_C \vec{F} \cdot d\vec{r} \quad \boxed{\text{線積分}}$$

$$\sum_i \vec{F}(\vec{r}_i) \cdot \Delta \vec{r}_i, \quad \Delta \vec{r}_i \rightarrow 0$$



パラメータ表示

$$C: \vec{r}(s) \quad s_a \leq s \leq s_b$$

$$\vec{r}(s_a) = \vec{r}_a, \vec{r}(s_b) = \vec{r}_b$$

$$W = \int_{s_a}^{s_b} \vec{F}(\vec{r}(s)) \cdot \frac{d\vec{r}(s)}{ds} ds$$

W が経路 C に依存せず。

\vec{r}_a, \vec{r}_b のみで決まるとき、 \vec{F} を保存力という。

このとき、 \vec{F} はポテンシャル $U(\vec{r})$ を用いて

$$\vec{F}(\vec{r}) = -\nabla U(\vec{r}) \quad \begin{pmatrix} -\operatorname{grad} U(\vec{r}) \\ -\nabla U(\vec{r}) \end{pmatrix}$$

と書ける。

$U(\vec{r})$: スカラー場 $\xrightarrow{-\vec{\nabla}} \vec{F}(\vec{r})$: ベクトル場

Coulomb 力

$$\vec{F}(\vec{r}) = \frac{q}{4\pi\epsilon_0} \sum_{i=1}^n \frac{q_i(\vec{r}-\vec{r}_i)}{|\vec{r}-\vec{r}_i|^3}$$

は保存力である。

$n=1$ のとき、

$$q_i = q', \vec{r}_i = \vec{r}'$$

$$\begin{aligned}\vec{F}(\vec{r}) &= \frac{q \cdot q'}{4\pi\epsilon_0} \frac{\vec{r}-\vec{r}'}{|\vec{r}-\vec{r}'|^3} \\ &= -\vec{\nabla} U(\vec{r})\end{aligned}$$

$$U(\vec{r}) = \frac{q \cdot q'}{4\pi\epsilon_0} \frac{1}{|\vec{r}-\vec{r}'|} + U_0$$

↑ 定数
(\vec{r} に依らない)

$$= \frac{q \cdot q'}{4\pi\epsilon_0} \frac{1}{\sqrt{(x-x')^2 + (y-y')^2 + (z-z')^2}}$$

$$r \equiv |\vec{r}-\vec{r}'| = \sqrt{(x-x')^2 + (y-y')^2 + (z-z')^2}$$

定義 とする。

$$\frac{\partial}{\partial x} \frac{1}{|\vec{r}-\vec{r}'|} = \frac{\partial}{\partial x} \frac{1}{r} = -\frac{1}{r^2} \frac{\partial r}{\partial x} = -\frac{x-x'}{r^3}$$

$$\vec{\nabla} f(\vec{r}) = \left(\frac{\partial}{\partial x} f(\vec{r}) \frac{\partial}{\partial y} f(\vec{r}) \frac{\partial}{\partial z} f(\vec{r}) \right)$$

(\vec{r} カルト座標)

$$\boxed{\vec{\nabla} \frac{1}{|\vec{r}-\vec{r}'|} = -\frac{\vec{r}-\vec{r}'}{|\vec{r}-\vec{r}'|^3}} \Rightarrow \vec{F}(\vec{r}) = -\vec{\nabla} U(\vec{r})$$

重ねあわせの原理より、一般の場合は、

$$\vec{F}(\vec{r}) = -\vec{\nabla} \cdot U(\vec{r})$$

$$U(\vec{r}) = \frac{q}{4\pi\epsilon_0} \sum_i^n \frac{q_i}{|\vec{r} - \vec{r}_i|} + U_0$$

\vec{r} に依らない。

\vec{r}_i には依ってよい。

電場 $\vec{E}(\vec{r})$ は

$$\vec{E}(\vec{r}) = -\vec{\nabla} \cdot \phi(\vec{r})$$

$$\phi(\vec{r}) = \frac{1}{4\pi\epsilon_0} \sum_i^n \frac{q_i}{|\vec{r} - \vec{r}_i|} + \phi_0$$

定数。

通常 $\vec{r} \rightarrow \infty$ で $\phi(\vec{r}) \rightarrow 0$ となるように ϕ_0 をとる。

連続分布の場合には、

$$\phi(\vec{r}) = \frac{1}{4\pi\epsilon_0} \int \frac{\rho(\vec{r}')}{|\vec{r} - \vec{r}'|} dV'$$

ϕ : 電位, 静電ポテンシャル, スカラーポテンシャル

$$\text{単位 } U = q \cdot \phi \quad \phi: \frac{J}{C} = V$$

[J] [C]

(ボルト)

電場 \vec{E} は $\vec{E} = -\vec{\nabla} \phi$ より, V/m

$$(V = m^2 \cdot kg \cdot s^{-3} \cdot A^{-1})$$

$$(V/m = m \cdot kg \cdot s^{-3} \cdot A^{-1})$$

$\vec{F}(\vec{r})$ が保存力のとき、



$$\oint_{C_1} \vec{F} \cdot d\vec{r} = \oint_{C_2} \vec{F} \cdot d\vec{r}$$

$$C = C_1 - C_2 \text{ とする。}$$

\nwarrow 逆向きの C_2

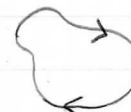
$$\oint_C \vec{F} \cdot d\vec{r} = 0.$$

一般に、任意の閉じた経路 C に対して、

$$\oint_C \vec{F} \cdot d\vec{r} = 0$$

電場についても、任意の閉じた経路 C に対して、

$$\boxed{\oint_C \vec{E} \cdot d\vec{r} = 0}$$



このような
電気力線は
ない。

§ 1.4 Stokes の定理と Gauss の定理

目標 $\int_c \vec{E} \cdot d\vec{r} = 0, \epsilon_0 \int_{\text{vol}} \vec{E} \cdot d\vec{s} = \int_V \rho dV$

$$\Downarrow$$

$$\vec{\nabla} \times \vec{E} = 0, \epsilon_0 \vec{\nabla} \cdot \vec{E} = \rho$$

積分に関する数学の定理

(i) 1 次元 \rightarrow 0 次元

$$\int_{x_a}^{x_b} \frac{df(x)}{dx} dx = f(x_b) - f(x_a)$$

$$\left(\int_{x_a}^{x_b} \frac{\partial}{\partial x} f(x, y, z) dx, f(x, y, z) \right) = f(x_b, y, z) - f(x_a, y, z)$$

$f(x, y, z)$: スカラー場

$\vec{\nabla} f(x, y, z)$ ベクトル場

$$= \left(\frac{\partial}{\partial x} f(x, y, z), \frac{\partial}{\partial y} f(x, y, z), \frac{\partial}{\partial z} f(x, y, z) \right)$$

$$C: \begin{array}{c} \nearrow \searrow \\ (x_a, y_a, z_a) \quad (x_b, y_b, z_b) \end{array}$$

$$\int_c \vec{\nabla} f \cdot d\vec{r} = \int_{x_a}^{x_b} \frac{\partial}{\partial x} f(x, y_a, z_a) dx$$

$$= f(x_b, y_a, z_a) - f(x_a, y_a, z_a)$$

$$C: \begin{array}{c} \downarrow \\ (x_b, y_b, z_b) \\ \nearrow \searrow \\ (x_a, y_a, z_a) \end{array}$$

$$\int_c \vec{F} \cdot d\vec{r}$$

$$= \int_{x_a}^{x_b} \frac{\partial}{\partial x} f(x, y_a, z_a) dx$$

$$+ \int_{y_a}^{y_b} \frac{\partial}{\partial y} f(x_b, y, z_a) dy$$

$$= f(x_b, y_a, z_a) - f(x_a, y_a, z_a) + f(x_b, y_b, z_a) - f(x_a, y_b, z_a)$$

$$= f(x_b, y_b, z_a) - f(x_a, y_a, z_a)$$

$$\int_c \vec{\nabla} f \cdot d\vec{r} = f(\vec{r}_b) - f(\vec{r}_a)$$

始点と終点だけ決まり、
途中の経路には
依存しない。

例1. $\vec{F}(\vec{r})$: 保存力

$U(\vec{r})$: ポテンシャル

$$\vec{F}(\vec{r}) = -\vec{\nabla} U(\vec{r})$$

$$\begin{aligned}\int_C \vec{F} \cdot d\vec{r} &= - \int_C \vec{\nabla} U \cdot d\vec{r} \\ &= -[U(\vec{r}_b) + U(\vec{r}_a)]\end{aligned}$$

例2. $\vec{E}(\vec{r})$: 電場

$\phi(\vec{r})$: 電位

$$\vec{E}(\vec{r}) = -\vec{\nabla} \phi(\vec{r})$$

$$\begin{aligned}\int_C \vec{E} \cdot d\vec{r} &= - \int_C \vec{\nabla} \phi \cdot d\vec{r} \\ &= -[\phi(\vec{r}_b) + \phi(\vec{r}_a)]\end{aligned}$$

等電位面: ϕ の値が一定の面

等電位面内の経路 C を

$\vec{r}(s)$ のようにパラメータ表示すると、

$$\frac{d\phi(\vec{r}(s))}{ds} = 0$$

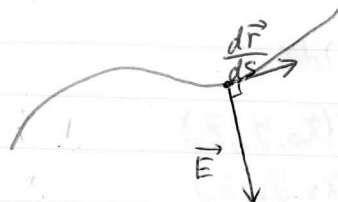
合成微分の法則より、

$$\vec{\nabla} \phi(\vec{r}(s)) \cdot \frac{d\vec{r}(s)}{ds} = 0$$

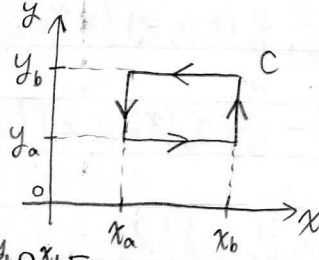
$$-\vec{E}(\vec{r}(s)) \cdot \frac{d\vec{r}(s)}{ds} = 0$$

↑ 接線方向

∴ 電場は等電位面に直交する。

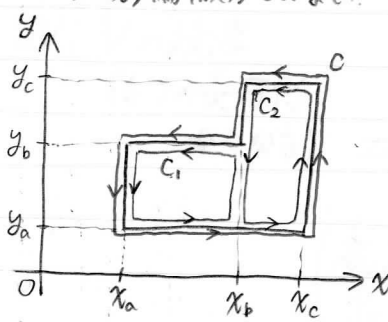


(ii) 2次元 \rightarrow 1次元



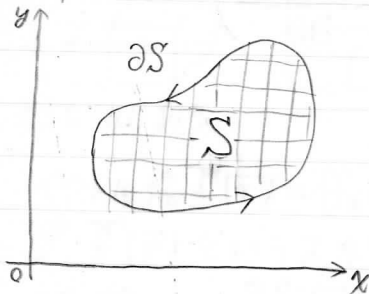
$$\begin{aligned} & \int_{y_a}^{y_b} \int_{x_a}^{x_b} \left[\frac{\partial}{\partial x} f_y(x, y) - \frac{\partial}{\partial y} f_x(x, y) \right] dx dy \\ &= \int_{y_a}^{y_b} [f_y(x_b, y) - f_y(x_a, y)] dy \quad \text{↑ 2次元積分} \\ &\quad - \int_{x_a}^{x_b} [f_x(x, y_b) - f_x(x, y_a)] dx \\ &= \int_C \vec{f} \cdot d\vec{r} \quad \text{← 1次元積分} \\ & \vec{f}(\vec{r}) = (f_x(x, y), f_y(x, y)) \end{aligned}$$

↓ 2次元のベクトル場
X成分、偏微分ではない。



$$\begin{aligned} & \int_{y_a}^{y_b} \int_{x_a}^{x_b} \left[\frac{\partial}{\partial x} f_y(x, y) - \frac{\partial}{\partial y} f_x(x, y) \right] dx dy \\ &+ \int_{y_b}^{y_c} \int_{x_b}^{x_c} \left[\frac{\partial}{\partial x} f_y(x, y) - \frac{\partial}{\partial y} f_x(x, y) \right] dx dy \\ &= \int_{C_1} \vec{f} \cdot d\vec{r} + \int_{C_2} \vec{f} \cdot d\vec{r} \\ &= \int_C \vec{f} \cdot d\vec{r} \end{aligned}$$

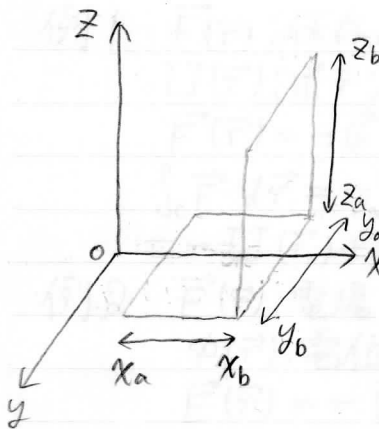
一般に、



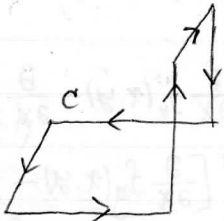
$$\begin{aligned} & \int_S \left[\frac{\partial}{\partial x} f_y(x, y) - \frac{\partial}{\partial y} f_x(x, y) \right] d\vec{r} \\ &= \int_{\partial S} \vec{f} \cdot d\vec{r} \end{aligned}$$

S : 2次元領域

∂S : S の境界(閉曲線)



$$\begin{aligned}
 & \int_{y_a}^{y_b} \int_{x_a}^{x_b} \left[\frac{\partial}{\partial x} f_y(x, y, z_a) - \frac{\partial}{\partial y} f_x(x, y, z_a) \right] dx dy \\
 & - \int_{z_a}^{z_b} \int_{y_a}^{y_b} \left[\frac{\partial}{\partial y} f_z(x_b, y, z) - \frac{\partial}{\partial z} f_y(x_b, y, z) \right] dy dz \\
 & = \int_{y_a}^{y_b} \left[f_y(x_b, y, z_a) - f_y(x_a, y, z_a) \right] dy \\
 & - \int_{x_a}^{x_b} \left[f_x(x, y_b, z_a) - f_x(x, y_a, z_a) \right] dx \\
 & - \int_{z_a}^{z_b} \left[f_z(x_b, y_b, z) - f_z(x_b, y_a, z) \right] dz \\
 & + \int_{y_a}^{y_b} \left[f_y(x_b, y, z_b) - f_y(x_b, y, z_a) \right] dy \\
 & = \int_C \vec{f} \cdot d\vec{r}
 \end{aligned}$$



ベクトル場 $\vec{f}(\vec{r}) = (f_x(\vec{r}), f_y(\vec{r}), f_z(\vec{r}))$

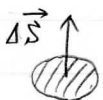
に対して、 $\vec{\nabla} \times \vec{f}(\vec{r})$ というベクトル場を、

$\vec{\nabla} \times \vec{f}(\vec{r})$

$$= \left(\frac{\partial f_z(\vec{r})}{\partial y} - \frac{\partial f_y(\vec{r})}{\partial z}, \frac{\partial f_x(\vec{r})}{\partial z} - \frac{\partial f_z(\vec{r})}{\partial x}, \frac{\partial f_y(\vec{r})}{\partial x} - \frac{\partial f_x(\vec{r})}{\partial y} \right)$$

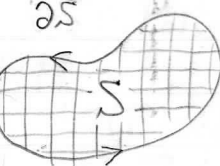
のようく定義する。

(ベクトル場の回転, $\text{rot } \vec{f}(\vec{r})$, $\text{curl } \vec{f}(\vec{r})$)



境界に向きがついた微小面積要素

$|\vec{s}| = \text{面積}$, 右ネジの進む向き



$$\sum_i (\vec{\nabla} \times \vec{f}) \cdot d\vec{s} \xrightarrow{dS \rightarrow 0} \int_S (\vec{\nabla} \times \vec{f}) \cdot d\vec{s}$$

$$\boxed{\int_S (\vec{\nabla} \times \vec{f}) \cdot d\vec{s} = \int_{\partial S} \vec{f} \cdot d\vec{r}}$$

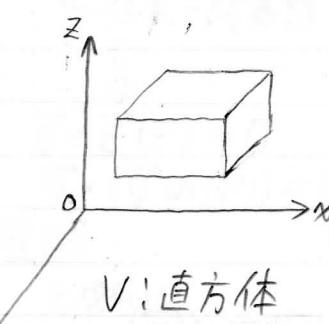
Stokes の定理

dS が同じならば
 S の形に依存しない。

3 次元中の
2 次元領域

S : S の境界(向きつき)

3 次元 \rightarrow 2 次元



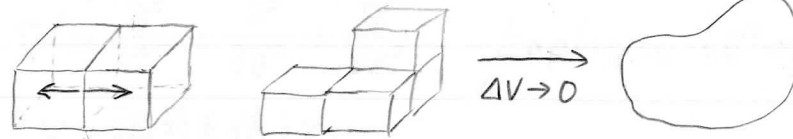
V : 直方体

∂V : V の境界
(6つの長方形
からなる)

$$\begin{aligned} & \int_{z_a}^{z_b} \int_{y_a}^{y_b} \int_{x_a}^{x_b} \left[\frac{\partial}{\partial x} f_x(x, y, z) + \frac{\partial}{\partial y} f_y(x, y, z) \right. \\ & \quad \left. + \frac{\partial}{\partial z} f_z(x, y, z) \right] dx dy dz \\ &= \int_{z_a}^{z_b} \int_{y_a}^{y_b} [f_x(x_b, y, z) - f_x(x_a, y, z)] dy dz \\ & \quad + \int_{x_a}^{x_b} \int_{z_a}^{z_b} [f_y(x, y_b, z) - f_y(x, y_a, z)] dz dx \\ & \quad + \int_{y_a}^{y_b} \int_{x_a}^{x_b} [f_z(x, y, z_b) - f_z(x, y, z_a)] dx dy \\ &= \int_{\partial V} \vec{f} \cdot d\vec{s} \end{aligned}$$

(高次元への拡張では、
 $f_x \rightarrow f_{yz}$, $f_y \rightarrow f_{zx}$, $f_z \rightarrow f_{xy}$)

任意の 3 次元領域 V に拡張できる。



打ち消しあう。

ベクトル場 $\vec{f}(\vec{r}) = (f_x(\vec{r}), f_y(\vec{r}), f_z(\vec{r}))$ に対して、

$\vec{\nabla} \cdot \vec{f}(\vec{r})$ というスカラー場を

$$\vec{\nabla} \cdot \vec{f}(\vec{r}) \equiv \frac{\partial f_x(\vec{r})}{\partial x} + \frac{\partial f_y(\vec{r})}{\partial y} + \frac{\partial f_z(\vec{r})}{\partial z} \quad (\text{ベクトル場の発散}, \text{div } \vec{f}(\vec{r}))$$

$$\boxed{\int_V (\vec{\nabla} \cdot \vec{f}) dV = \int_{\partial V} \vec{f} \cdot d\vec{s}}$$

Gauss の定理

まとめ

$\partial C \mathbb{Z}^n$ の 0 次元積分

$$\int_C \vec{\nabla} f \cdot d\vec{r} = f(\vec{r}_b) - f(\vec{r}_a)$$

$$\int_S (\vec{\nabla} \times \vec{f}) \cdot d\vec{s} = \int_{\partial S} \vec{f} \cdot d\vec{r}$$

$$\int_V (\vec{\nabla} \cdot \vec{f}) dV = \int_{\partial V} \vec{f} \cdot d\vec{s}$$

n 次元中の m 次元積分と、

その境界での積分の関係に

拡張可能。

$$(1 \leq m \leq n)$$

$$\int_{\partial S} \vec{E} \cdot d\vec{r} = \int_S (\vec{\nabla} \times \vec{E}) \cdot d\vec{s} = 0 \Leftrightarrow \vec{\nabla} \times \vec{E}(\vec{r}) = 0.$$

$$\epsilon_0 \int_{\partial V} \vec{E} \cdot d\vec{s} = \epsilon_0 \int_V (\vec{\nabla} \cdot \vec{E}) dV = \int_V \rho dV \Leftrightarrow \epsilon_0 \vec{\nabla} \cdot \vec{E}(\vec{r}) = \rho(\vec{r})$$

保存力の判定条件にも使うことができる。

$$\vec{\nabla} \times \vec{f}(\vec{r}) = 0$$



$\vec{F}(\vec{r})$ は保存力

§ 1.5 Poisson 方程式

目標

$\rho(\vec{r})$ が与えられたとき

$$\vec{\nabla} \times \vec{E} = 0, \epsilon_0 \vec{\nabla} \cdot \vec{E} = \rho$$

を満たす \vec{E} を求める。

Coulomb の法則が再現できるか？

$$\oint_C \vec{E} \cdot d\vec{r} = 0 \Leftrightarrow \vec{E}(\vec{r}) = -\vec{\nabla} \phi(\vec{r})$$

任意の閉曲線



$$\vec{\nabla} \times \vec{E}(\vec{r}) = 0$$

$$\vec{\nabla} \times (\vec{\nabla} \phi(\vec{r})) = 0$$

確認

x 成分は、

$$\frac{\partial}{\partial y} \frac{\partial \phi(\vec{r})}{\partial z} - \frac{\partial}{\partial z} \frac{\partial \phi(\vec{r})}{\partial y} = 0.$$

$\vec{E} = -\vec{\nabla} \phi$ ならば

$\vec{\nabla} \times \vec{E} = 0$ は満たされている。

$$-\epsilon_0 \vec{\nabla} \cdot (\vec{\nabla} \phi) = \rho$$

$$-\epsilon_0 \left(\frac{\partial}{\partial x} \frac{\partial \phi}{\partial x} + \frac{\partial}{\partial y} \frac{\partial \phi}{\partial y} + \frac{\partial}{\partial z} \frac{\partial \phi}{\partial z} \right) = \rho$$

$$\nabla^2 \equiv \frac{\partial^2}{\partial x^2} + \frac{\partial^2}{\partial y^2} + \frac{\partial^2}{\partial z^2} \quad \text{Laplacian } (\nabla^2 = \Delta)$$

という記号を使うと、

$$\boxed{\nabla^2 \phi(\vec{r}) = -\frac{1}{\epsilon_0} \rho(\vec{r})} \quad \text{Poisson 方程式}$$

電荷のない真空中の領域では、

$$\boxed{\nabla^2 \phi(\vec{r}) = 0} \quad \text{Laplace 方程式}$$

$$\phi(\vec{r}) = \frac{q}{4\pi\epsilon_0} \frac{1}{|\vec{r}|}$$

のときの

$\nabla^2 \phi(\vec{r})$ の計算 ($\vec{r} \neq \vec{0}$)

$$r \equiv \sqrt{x^2 + y^2 + z^2}$$

$$\frac{\partial}{\partial x} \frac{1}{r} = -\frac{1}{r^2} \frac{\partial r}{\partial x} = -\frac{x}{r^3}$$

$$\begin{aligned} \frac{\partial^2}{\partial x^2} \frac{1}{r} &= -\frac{1}{r^3} + \frac{3x}{r^4} \frac{\partial r}{\partial x} \\ &= -\frac{1}{r^3} + \frac{3x^2}{r^3} \end{aligned}$$

$$\nabla^2 \phi(\vec{r}) = \frac{q}{4\pi\epsilon_0} \left[-\frac{3}{r^3} + \frac{3(x^2 + y^2 + z^2)}{r^5} \right] = 0.$$

$$\therefore \nabla^2 \phi(\vec{r}) = 0 (\vec{r} \neq \vec{0})$$

Poisson 方程式：非同次（非齊次方程式）

Laplace 方程式：同次（齊次）方程式

Poisson 方程式の一般解

= 特解 + Laplace 方程式の一般解

境界条件によってひとつずつ解に決まる。

比較

$$m \frac{dV(t)}{dt} = -mg - kV(t) \quad (\text{非同次})$$

の一般解は、

$$V(t) = -\frac{mg}{k} + C \cdot e^{-\frac{k}{m}t}$$

$$V(t) = \underbrace{-\frac{mg}{k}}_{\substack{\uparrow \\ \text{特解}}} + \underbrace{C \cdot e^{-\frac{k}{m}t}}_{\substack{\uparrow \\ m \frac{dV(t)}{dt} = -kV(t)}} \quad (C: \text{積分定数})$$

↑
特解

$$\uparrow \quad \text{(同次)}$$

の一般解

初期条件 (例えば " $V(0) = 0$ " 決まる)

↑
境界条件に対応

境界条件

通常は $\vec{r} \rightarrow \infty$ で $\phi(\vec{r}) \rightarrow 0$ という境界条件を課す。

(例 半径 R の球内に一様に分布した電荷)

$$\rho(\vec{r}) = \begin{cases} \rho & |\vec{r}| \leq R \\ 0 & |\vec{r}| > R \end{cases}$$

ϕ は $r \equiv |\vec{r}|$ の $\phi(r)$

$$\frac{\partial \phi(r)}{\partial x} = \frac{d\phi(r)}{dr} \frac{\partial r}{\partial x} = \frac{x}{r} \frac{d\phi(r)}{dr}$$

$$\frac{\partial^2 \phi(r)}{\partial x^2} = \left(\frac{1}{r} - \frac{x^2}{r^3} \right) \frac{d\phi(r)}{dr} + \frac{x^2}{r^2} \frac{d^2\phi(r)}{dr^2}$$

$$\begin{aligned} \nabla^2 \phi(r) &= \frac{1}{r} \frac{d\phi(r)}{dr} + \frac{d^2\phi(r)}{dr^2} \\ &= \frac{1}{r} \frac{d^2}{dr^2} [r\phi(r)] \end{aligned}$$

(i) $r > R$ のとき

$$\frac{1}{r} \frac{d^2}{dr^2} [r\phi(r)] = 0$$

$$r\phi(r) = C_1 r + C_2$$

$$\phi(r) = C_1 + \frac{C_2}{r}$$

$r \rightarrow \infty$ で $\phi(r) \rightarrow 0$ より, $C_1 = 0$.

$$\phi(r) = \frac{C_2}{r}$$

(ii) $r < R$ のとき

$$\frac{1}{r} \frac{d^2}{dr^2} [r\phi(r)] = -\frac{\rho}{\epsilon_0}$$

$$r\phi(r) = -\frac{\rho}{6\epsilon_0} r^3 + C_3 r + C_4$$

$$\phi(r) = -\frac{\rho}{6\epsilon_0} r^2 + C_3 + \frac{C_4}{r}$$

電荷密度が有限のとき、静電場は連続。

$\Rightarrow \frac{d\phi(r)}{dr}$, $\phi(r)$ は連続。

$$\frac{d\phi(r)}{dr} = \begin{cases} -\frac{\rho}{3\epsilon_0} r - \frac{C_4}{r^2} & (r < R) \\ -\frac{C_2}{r^2} & (r > R) \end{cases}$$

$$r=0 \text{ で連続} \Rightarrow C_4=0$$

$r=R$ で連続

$$\left\{ -\frac{\rho}{3\epsilon_0} R = -\frac{C_2}{R^2} \right.$$

$$\left. -\frac{\rho}{6\epsilon_0} R^2 + C_3 = \frac{C_2}{R} \right.$$

$$C_2 = \frac{\rho R^3}{3\epsilon_0}, C_3 = \frac{\rho R^2}{2\epsilon_0}$$

$$\phi(r) = \begin{cases} \frac{\rho R^2}{2\epsilon_0} - \frac{\rho}{6\epsilon_0} r^2 & (r \leq R) \\ \frac{\rho R^3}{3\epsilon_0} \frac{1}{r} & (r > R) \end{cases}$$

電場の動径成分 $E_r(r)$ は、

$$E_r(r) = -\frac{d\phi(r)}{dr} = \begin{cases} \frac{\rho}{3\epsilon_0} r & (r \leq R) \\ -\frac{\rho R^3}{3\epsilon_0} \frac{1}{r^2} & (r > R) \end{cases}$$

一般に、

$$\phi(\vec{r}) = \frac{1}{4\pi\epsilon_0} \int \frac{\rho(\vec{r}')}{|\vec{r} - \vec{r}'|} dV'$$

境界条件 $\vec{r} \rightarrow \infty$ のとき、

$\phi(\vec{r}) \rightarrow 0$ を満たす。

$$\nabla^2 \phi(\vec{r}) = -\frac{1}{\epsilon_0} \rho(\vec{r})$$

の唯一の解である。

解の一意性

$\rho(\vec{r})$ と境界条件が与えられたとき、

$$\nabla^2 \phi(\vec{r}) = -\frac{1}{\epsilon_0} \rho(\vec{r})$$

の解はただ1つに決まる。



V : 3次元領域

(例えば“十分に大きい球”)

∂V : V の境界

境界条件

$$\partial V \text{ で } \phi(\vec{r}) = \phi_0 \text{ (定数)}$$

(境界は複数あってもよい。異なる境界で異なる ϕ_0 の値でもよい。)

2つの解 $\phi_1(\vec{r})$, $\phi_2(\vec{r})$ が存在したとする。

$$\nabla^2 \phi_1(\vec{r}) = -\frac{1}{\epsilon_0} \rho(\vec{r})$$

$$\nabla^2 \phi_2(\vec{r}) = -\frac{1}{\epsilon_0} \rho(\vec{r})$$

$$\partial V \tau'' \phi_1(\vec{r}) = \phi_0 \\ \phi_2(\vec{r}) = \phi_0$$

$\varphi(\vec{r}) \equiv \phi_1(\vec{r}) - \phi_2(\vec{r})$ は

$$\nabla^2 \varphi(\vec{r}) = 0$$

$$\partial V \tau'' \varphi(\vec{r}) = 0$$

$$\nabla^2 \varphi(\vec{r}) = 0 \Rightarrow \int_V \varphi \nabla^2 \varphi dV = 0$$

部分積分

$$\begin{aligned} & \vec{\nabla} \cdot (f(\vec{r}) \vec{\nabla} g(\vec{r})) \\ &= \vec{\nabla} f(\vec{r}) \cdot \vec{\nabla} g(\vec{r}) \\ &+ f(\vec{r}) \nabla^2 g(\vec{r}) \\ & (f(\vec{r}), g(\vec{r}) : \text{スカラー場}) \end{aligned}$$

$$\frac{\partial}{\partial x} \left(f \frac{\partial g}{\partial x} \right) + \dots$$

$$= \frac{\partial f}{\partial x} \frac{\partial g}{\partial x} + f \frac{\partial^2 g}{\partial x^2} + \dots$$

$$f = g = \varphi \text{ とし},$$

$$\begin{aligned} & \int_V \varphi \nabla^2 \varphi dV \\ &= \int_V \vec{\nabla} \cdot (\varphi \vec{\nabla} \varphi) dV - \int_V |\vec{\nabla} \varphi|^2 dV \\ &= \underbrace{\int_{\partial V} \varphi \vec{\nabla} \varphi \cdot d\vec{s}}_{0 \leftarrow \partial V \tau'' \varphi = 0} - \int_V |\vec{\nabla} \varphi|^2 dV = 0 \quad \text{Gauss の定理} \end{aligned}$$

$$|\vec{\nabla} \varphi|^2 \geq 0, \int_V |\vec{\nabla} \varphi|^2 dV = 0.$$

$$\Rightarrow \vec{\nabla} \varphi(\vec{r}) = 0$$

$$\varphi(\vec{r}) \text{ が一定}, \partial V \tau'' \varphi = 0 \text{ より}, \varphi(\vec{r}) = 0$$

$$\therefore \phi_1(\vec{r}) = \phi_2(\vec{r}),$$

Coulomb の法則



$$\int_C \vec{E} \cdot d\vec{r} = 0, \epsilon_0 \int_{\partial V} \vec{E} \cdot d\vec{s} = \int_V \rho dV$$

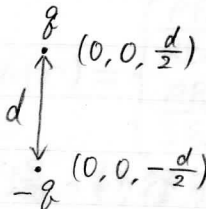


Coulomb の法則



$$\nabla \times \vec{E} = 0, \epsilon_0 \nabla \cdot \vec{E} = \rho \Leftrightarrow \nabla^2 \phi = -\frac{1}{\epsilon_0} \rho, \vec{E} = -\nabla \phi$$

§ 1.6 電気双極子



$$\phi(x, y, z) = \frac{q}{4\pi\epsilon_0} \left[\frac{1}{\sqrt{x^2 + y^2 + (z - \frac{d}{2})^2}} - \frac{1}{\sqrt{x^2 + y^2 + (z + \frac{d}{2})^2}} \right]$$

遠方では、 $d \ll r \equiv \sqrt{x^2 + y^2 + z^2}$ より、

$$[x^2 + y^2 + (z \pm \frac{d}{2})^2]^{-\frac{1}{2}} = [x^2 + y^2 + z^2 \pm zd + \frac{d^2}{4}]^{-\frac{1}{2}}$$

$$= \frac{1}{r} \left[1 \pm \frac{zd}{r^2} + \frac{d^2}{4r^2} \right]^{-\frac{1}{2}} \text{ order}$$

$$= \frac{1}{r} \left[1 \pm \frac{zd}{r^2} + O\left(\frac{d^2}{r^2}\right) \right]^{-\frac{1}{2}}$$

$$= \frac{1}{r} \left[1 \mp \frac{zd}{2r^2} + O\left(\frac{d^2}{r^2}\right) \right]$$

$$(1+x)^\alpha = 1 + \alpha x + O(x^2) \quad \text{Taylor 展開}$$

$$\therefore \phi(x, y, z) \cong \frac{qd}{4\pi\epsilon_0 r^3} \frac{z}{r^3} \quad (d \ll r)$$

電気双極子モーメント \vec{P} を向き: $-q \rightarrow q$

$$|\vec{P}| = q \times (q \text{ と } -q \text{ の キヨリ})$$

のよう に 定義 する と、一 般 に

$$\phi(\vec{r}) \cong \frac{1}{4\pi\epsilon_0} \frac{\vec{P} \cdot \vec{r}}{|\vec{r}|^3}$$

$$\phi(\vec{r}) = \frac{P}{4\pi\epsilon_0} \frac{z}{r^3} \text{ のとき。}$$

$\vec{E}(\vec{r}) = -\vec{\nabla} \phi(\vec{r})$ は、

$$\vec{E}(\vec{r}) = \left(\frac{P}{4\pi\epsilon_0} \frac{3zx}{r^5}, \frac{P}{4\pi\epsilon_0} \frac{3zy}{r^5}, \frac{P}{4\pi\epsilon_0} \frac{3z^2-r^2}{r^5} \right)$$

$$\phi(\vec{r}) = \frac{1}{4\pi\epsilon_0} \frac{\vec{P} \cdot \vec{r}}{|\vec{r}|^3} \text{ のとき。}$$

$$\vec{E}(\vec{r}) = \frac{1}{4\pi\epsilon_0} \left(\frac{3(\vec{P} \cdot \vec{r}) \vec{r}}{|\vec{r}|^5} - \frac{\vec{P}}{|\vec{r}|^3} \right)$$

多重極展開

$$\phi(\vec{r}) = \frac{1}{4\pi\epsilon_0} \int \frac{\rho(\vec{r}')}{|\vec{r} - \vec{r}'|} dV'$$

遠方では $|\vec{r}'| \gg |\vec{r}|$

$$\begin{aligned} \frac{1}{|\vec{r} - \vec{r}'|} &= (|\vec{r}|^2 - 2\vec{r} \cdot \vec{r}' + |\vec{r}'|^2)^{-\frac{1}{2}} \\ &= \frac{1}{|\vec{r}|} \left(1 - \frac{2\vec{r} \cdot \vec{r}'}{|\vec{r}|^2} + \frac{|\vec{r}'|^2}{|\vec{r}|^2} \right)^{-\frac{1}{2}} \\ &\approx \frac{1}{|\vec{r}|} \left(1 + \frac{\vec{r} \cdot \vec{r}'}{|\vec{r}|^2} \right) \\ &= \frac{1}{|\vec{r}|} + \frac{\vec{r} \cdot \vec{r}'}{|\vec{r}|^3} \end{aligned}$$

$$\begin{aligned} \phi(\vec{r}) &\approx \frac{1}{4\pi\epsilon_0} \int \frac{\rho(\vec{r}')}{|\vec{r}'|} dV' + \frac{1}{4\pi\epsilon_0} \int \frac{\vec{r} \cdot \vec{r}'}{|\vec{r}'|^3} \rho(\vec{r}') dV' + \dots \\ &= \frac{1}{4\pi\epsilon_0} \frac{Q}{|\vec{r}|} + \cancel{\frac{1}{4\pi\epsilon_0}} + \frac{1}{4\pi\epsilon_0} \frac{\vec{P} \cdot \vec{r}}{|\vec{r}|^3} + \dots \\ &\quad \uparrow \qquad \qquad \qquad \uparrow \qquad \uparrow \\ &\quad \frac{1}{r} \qquad \qquad \frac{1}{r^2} \qquad \frac{1}{r^3}, \frac{1}{r^4}, \dots \end{aligned}$$

$$Q \equiv \int \rho(\vec{r}') dV'$$

全電荷

$$\vec{P} \equiv \int \vec{r}' \rho(\vec{r}') dV'$$

双極子モーメント

§ 1.7 導体

導体 (conductor)

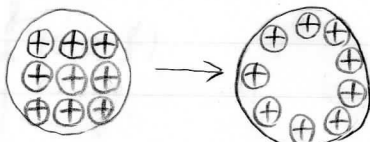
→ 電気をよく伝えます。

絶縁体 (insulator)

→ 電気をほとんど伝えません。

導体中に電場があると、

電荷が移動する。



最終的な電荷分布

導体内部

$$\vec{E} = 0 \Rightarrow \begin{cases} \phi \text{ は一定} \\ \text{Gauss の法則より, } P = 0 \end{cases}$$

導体表面

電荷が存在できる

電場の表面に接する方向の成分は 0。

ϕ は表面でも一定

導体表面は等電位面で、

電場は表面に垂直。

$E_n(\vec{r})$: 電場の表面に垂直な成分。

(外向きを正)

$\rho(\vec{r})$: 電荷の面密度



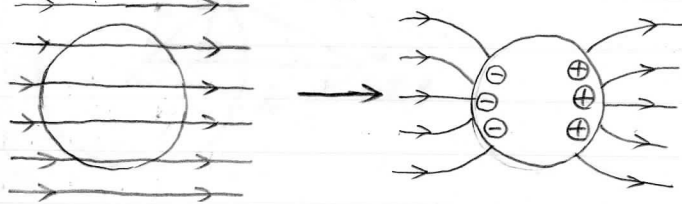
Gauss の法則より、

$$\epsilon_0 E_n(\vec{r}) dS = \rho(\vec{r}) dS$$

$$E_n(\vec{r}) = \frac{1}{\epsilon_0} \rho(\vec{r})$$

静電誘導

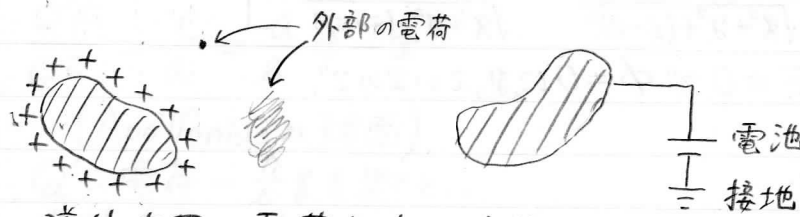
電場の中に電荷を置く。



表面に電荷が分布

$$\text{内部は } \vec{E} = 0$$

導体のまわりの静電場



導体表面の電荷分布は事前には分からぬ。
分かること

導体内部では $\vec{E} = 0$

それぞれの導体表面で ϕ は一定

$$\vec{r} \rightarrow \infty \text{ で } \phi(\vec{r}) \rightarrow 0,$$

i番目の導体表面で $\phi = \phi_i$ という

境界条件のもとで導体外部で

$$\nabla^2 \phi(\vec{r}) = -\frac{1}{\epsilon_0} \rho(\vec{r})$$

↑ 外部の電荷分布

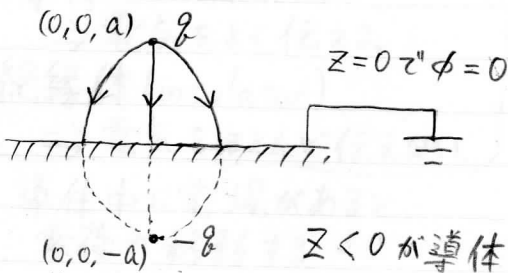
を満たす解が求まればよい。

解の一意性の証明が適用できるので、

何らかの方法で解が見つかればそれが唯一の解

鏡像法

例1.

 $z < 0$ が導体内部導体をなくして $(0, 0, -a)$ に $-q$ の点電荷を置くと、

$$\phi(x, y, z) = \frac{q}{4\pi\epsilon_0} \left[\frac{1}{\sqrt{x^2 + y^2 + (z-a)^2}} - \frac{1}{\sqrt{x^2 + y^2 + (z+a)^2}} \right]$$

無限遠で $\phi = 0$, $z = 0$ で $\phi = 0$ にならざるを得ない、
この $\phi(z > 0)$ が解。 E_z は。

$$\begin{aligned} E_z &= -\frac{\partial \phi(x, y, z)}{\partial z} \\ &= \frac{q}{4\pi\epsilon_0} \left\{ \frac{z-a}{[x^2 + y^2 + (z-a)^2]^{\frac{3}{2}}} - \frac{z+a}{[x^2 + y^2 + (z+a)^2]^{\frac{3}{2}}} \right\} \end{aligned}$$

導体表面 ($z=0$) では、

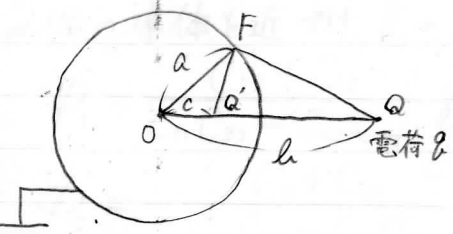
$$E_z(x, y, 0) = -\frac{q}{2\pi\epsilon_0} \frac{a}{(x^2 + y^2 + a^2)^{\frac{3}{2}}}$$

表面電荷の面密度 $\sigma(x, y)$ は、

$$\sigma(x, y) = \epsilon_0 E_z(x, y, 0)$$

$$= -\frac{q}{2\pi} \frac{a}{(x^2 + y^2 + a^2)^{\frac{3}{2}}}$$

例2. 导体球と点電荷



Q' を $l : a = a : c$ を満たすようにとる。

球面上の任意の任意の点 F に対し、

$$\triangle QOF \propto \triangle FOQ'$$

$$\frac{Q'F}{QF} = \frac{c}{a} = \frac{a}{l} = \text{一定}$$

(Apollonius の球面)

Q' に電荷 $-\frac{a}{l} Q$ を置くと、

導体表面で $\phi = 0$ になる。

→ 解

導体球の内部を空洞にしても

外部の電場は同じ。

内部の電場はゼロ。 静電遮蔽

電気容量

電荷 Q をもつ半径 R の孤立した導体球の電位は、

中心に点電荷があるとした場合と外部の電場は同じだから、

$$\phi = \frac{Q}{4\pi\epsilon_0 R}$$

一般に孤立導体では、 $\phi \propto Q$ 。

ϕ を入倍

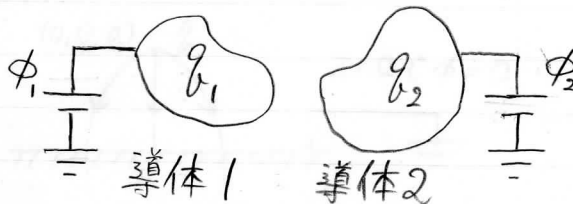
→ 外部の E を入倍したものが解

→ Q も入倍 (Gauss の法則)

$$Q = C\phi \quad C: \text{電気容量 (導体の形状で決まる)}$$

(単位: μF (ファラッド))

導体が2個の系



ϕ_1, ϕ_2 を与えたときの q_1, q_2 を考えよ。

(i) $\phi_1 \neq 0, \phi_2 = 0$ のとき。

孤立導体のときと同じ理由で。

$$q_1 \propto \phi_1, q_2 \propto \phi_1$$

$$q_1 = C_{11}\phi_1, q_2 = C_{21}\phi_1$$

(ii) $\phi_1 = 0, \phi_2 \neq 0$ のとき。

$$q_1 = C_{12}\phi_2, q_2 = C_{22}\phi_2$$

(多重極展開の正しい式)

$$\begin{aligned} \phi(\vec{r}) &\cong \frac{1}{4\pi\epsilon_0} \int \frac{\rho(\vec{r}')}{|\vec{r}'|} dV' + \frac{1}{4\pi\epsilon_0} \int \frac{\vec{r} \cdot \vec{r}'}{|\vec{r}'|^3} P(\vec{r}') dV' + \dots \\ &= \frac{1}{4\pi\epsilon_0} \frac{Q}{|\vec{r}|} + \frac{1}{4\pi\epsilon_0} \frac{\vec{p} \cdot \vec{r}}{|\vec{r}|^3} + \dots \end{aligned}$$

$$\text{電荷は } q_1 = C_{11}\phi_1 + C_{12}\phi_2$$

$$q_2 = C_{21}\phi_1 + C_{22}\phi_2$$

3個以上の導体にも拡張できる。

一般に $C_{12} = C_{21}$

相反定理(証明省略)

コンデンサー

2個の導体を近づけ、 $\phi_1 = \phi$, $\phi_2 = -\phi$ としたもの。このとき、

$$\phi_1 = \frac{C_{22} + C_{12}}{C_{11}C_{22} - C_{12}C_{21}} \phi$$

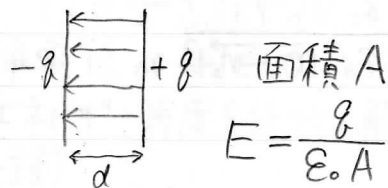
$$\phi_2 = -\frac{C_{11} + C_{21}}{C_{11}C_{22} - C_{12}C_{21}} \phi$$

$$\Delta\phi = \phi_1 - \phi_2 \propto \phi$$

$$g = C \Delta\phi$$

C : コンデンサーの電気容量

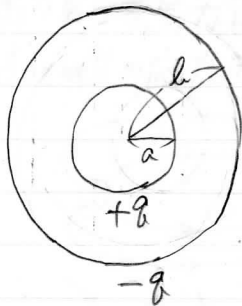
例1 平行板コンデンサー



$$E = \frac{\phi}{\epsilon_0 A} \rightarrow \Delta\phi = Ed = \frac{d}{\epsilon_0 A} \phi$$

$$C = \frac{\epsilon_0 A}{d}$$

例2 同心球

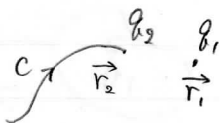


$$\Delta\phi = \frac{\phi}{4\pi\epsilon_0} \left(\frac{1}{a} - \frac{1}{b} \right)$$

$$C = \frac{4\pi\epsilon_0 a b}{b-a}$$

§ 1.8 静電エネルギー

2個の点電荷



q_2 を無限遠から \vec{r}_2 に運ぶときに
必要な仕事。

$$\vec{F}_{21}(\vec{r}) = \frac{q_2 q_1}{4\pi\epsilon_0} \frac{\vec{r} - \vec{r}_1}{|\vec{r} - \vec{r}_1|^3}$$

q_1 が q_2 に及ぼす力

$$W_2 = - \int_C \vec{F}_{21}(\vec{r}) \cdot d\vec{r}$$

$$= \frac{q_2 q_1}{4\pi\epsilon_0} \frac{1}{|\vec{r}_2 - \vec{r}_1|}$$

3個の点電荷



さらに q_3 を \vec{r}_3 に運ぶ

$$W_3 = \frac{q_3 q_1}{4\pi\epsilon_0} \frac{1}{|\vec{r}_3 - \vec{r}_1|} + \frac{q_3 q_2}{4\pi\epsilon_0} \frac{1}{|\vec{r}_3 - \vec{r}_2|}$$

合計 $W_2 + W_3$

n 個の点電荷の系の静電エネルギー

$$U = \frac{1}{4\pi\epsilon_0} \sum_{\substack{i,j=1 \\ i \neq j}}^n \frac{q_i q_j}{|\vec{r}_i - \vec{r}_j|} = \frac{1}{8\pi\epsilon_0} \sum_{\substack{i,j=1 \\ i \neq j}}^n \frac{q_i q_j}{|\vec{r}_i - \vec{r}_j|}$$

$\sum_{\substack{i,j=1 \\ i \neq j}}^n = \sum_{i=1}^{n-1} \sum_{j=i+1}^n$
 $\sum_{i=1}^n \sum_{j=1}^n$

q_i 以外が \vec{r}_i に作る電位 ϕ_i は

$$\phi_i = \frac{1}{4\pi\epsilon_0} \sum_{j=1, j \neq i}^n \frac{q_j}{|\vec{r}_i - \vec{r}_j|}$$

$$U = \frac{1}{2} \sum_{i=1}^n q_i \phi_i$$

連続分布

$$U = \frac{1}{8\pi\epsilon_0} \iint \frac{P(\vec{r}) P(\vec{r}')}{|\vec{r} - \vec{r}'|} dV dV'$$

$$U = \frac{1}{2} \int P(\vec{r}) \phi(\vec{r}) dV$$

$$\phi(\vec{r}) = \frac{1}{4\pi\epsilon_0} \int \frac{P(\vec{r}')}{|\vec{r} - \vec{r}'|} dV'$$

$$\nabla^2 \phi(\vec{r}) = -\frac{1}{\epsilon_0} P(\vec{r}) \text{ より},$$

$$U = -\frac{\epsilon_0}{2} \int_V \phi \nabla^2 \phi dV$$

$$= -\frac{\epsilon_0}{2} \underbrace{\int_{\partial V} \phi \vec{r} \phi \cdot d\vec{s}}_{\text{以前の部分積分}} + \frac{\epsilon_0}{2} \int_V |\vec{r} \phi|^2 dV$$

多重極展開より、

遠方で $\phi \sim \frac{1}{r}$, $\vec{r} \phi \sim \frac{1}{r^2}$

表面積 $4\pi r^2$

$$\int_{\partial V} \phi \vec{r} \phi \cdot d\vec{s} \rightarrow 0$$

$$\vec{r} \phi = -\vec{E} \text{ より},$$

$$U = \frac{\epsilon_0}{2} \int_V |\vec{E}|^2 dV$$

静電場が $\frac{\epsilon_0}{2} |\vec{E}(\vec{r})|^2$ という

エネルギー密度を持つとも解釈できる。

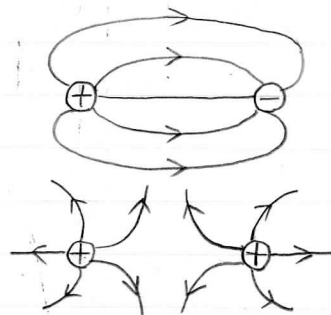
(余談)

さらに電気力線が力を及ぼし合っていとも
解釈できる。(説明省略)

電気力線は縮もうとする(張力)

隣りあう電気力線は押し合う(圧力)

Maxwell の応力テンソル(stress tensor)



遠隔作用
↓
近接作用

Faraday

一様に帯電した球の静電エネルギー-

$$\rho(\vec{r}) = \begin{cases} \rho & (|\vec{r}| \leq R) \\ 0 & (|\vec{r}| > R) \end{cases}$$

$$\phi(\vec{r}) = \begin{cases} \frac{\rho R^2}{2\epsilon_0} - \frac{\rho r^2}{6\epsilon_0} & (r \leq R) \\ \frac{\rho R^3}{3\epsilon_0} \frac{1}{r} & (r > R) \end{cases}$$

$$\begin{aligned} U &= \frac{1}{2} \int \rho \phi dV \\ &= \frac{1}{2} \int_0^\infty 4\pi r^2 \rho(r) \phi(r) dr \\ &= \frac{1}{2} \int_0^R 4\pi r^2 \rho \left(\frac{\rho R^2}{2\epsilon_0} - \frac{\rho r^2}{6\epsilon_0} \right) dr \\ &= \frac{4\pi \rho^2 R^5}{15\epsilon_0} \text{ 有限} \end{aligned}$$

$$Q = \frac{4}{3} \pi \rho R^3 \text{ を用いる},$$

↑全電荷

$$U = \frac{3Q^2}{20\pi\epsilon_0} \frac{1}{R}$$

点電荷の極限

(Q を一定にして $R \rightarrow 0$) で発展

→無限大の自己エネルギー-

電子場の理論を使つて記述

孤立導体の静電エネルギー-

$$U = \frac{1}{2} \int \rho(\vec{r}) \phi(\vec{r}) dV$$

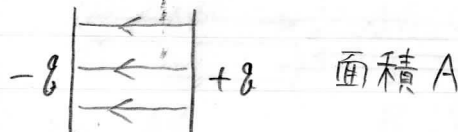
↑一定

$$= \frac{1}{2} \underbrace{\phi \int \rho(\vec{r}) dV}_{\text{全電荷}}$$

$$U = \frac{1}{2} Q \phi, Q = C \phi \text{ といふ},$$

$$U = \frac{1}{2} C \phi^2 = \frac{Q^2}{2C}$$

平行板コンデンサーの静電エネルギー



$$\phi_2 \quad \phi_1 \quad \Delta\phi = \phi_1 - \phi_2$$

$$U = \frac{1}{2} q \phi_1 + \frac{1}{2} (-q) \phi_2 = \frac{1}{2} q \Delta\phi$$

$q = C \Delta\phi$ より、

$$U = \frac{1}{2} C \Delta\phi^2 = \frac{q^2}{2C}$$

$$C = \frac{\epsilon_0 A}{d} \text{ より、 } U = \frac{q^2 d}{2\epsilon_0 A}$$

$E = \frac{q}{\epsilon_0 A}$ より、

$$\frac{1}{2} \epsilon_0 E^2 \cdot \frac{Ad}{V} = \frac{q^2 d}{2\epsilon_0 A}$$

エネルギー密度 体積

極板間ににはたらく力

$$F = -\frac{\partial U}{\partial d} = -\frac{q^2}{2\epsilon_0 A}$$

↑ 近づける方向 (引力)

§2 定常電流

§2.1 電荷の保存則

電流 \rightarrow [単位時間に流れ電荷の量] [%]

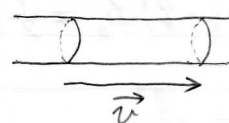
[A] 時間

電流密度: $\vec{j}(\vec{r}, t)$ (ベクトル場)

単位面積あたりの電流

電荷密度 ρ の電荷が速度 \vec{v} で

$$\text{動くとき, } \vec{j} = \rho \vec{v}$$

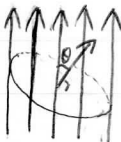


∂V : 3次元領域
V
 ∂V : Vの境界

単位時間あたりに V から出でていく正味の電荷

$\vec{j}(\vec{r}, t)$

ΔS



$$|\vec{j}(\vec{r}, t)| \Delta S \cos \theta = \vec{j}(\vec{r}, t) \cdot \Delta \vec{S}$$

面積要素ベクトル

$$\int_{\partial V} \vec{j}(\vec{r}, t) \cdot d\vec{S}$$

電荷の保存則

$$-\frac{\partial}{\partial t} \int_V \rho(\vec{r}, t) dV = \int_{\partial V} \vec{j}(\vec{r}, t) \cdot d\vec{S}$$

Gauss の定理より、

$$\int_{\partial V} \vec{j}(\vec{r}, t) \cdot d\vec{S} = \int_V \vec{\nabla} \cdot \vec{j}(\vec{r}, t) dV$$

$$\int_V \left[\frac{\partial}{\partial t} \rho(\vec{r}, t) + \vec{\nabla} \cdot \vec{j}(\vec{r}, t) \right] dV = 0$$

$$\frac{\partial}{\partial t} \rho(\vec{r}, t) + \vec{\nabla} \cdot \vec{j}(\vec{r}, t) = 0$$

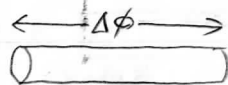
電荷の保存則の微分形

連続の方程式

定常電流

$$\begin{cases} \frac{\partial}{\partial t} \vec{j}(\vec{r}, t) = 0 & \vec{j}(\vec{r}) \\ \frac{\partial}{\partial t} \rho(\vec{r}, t) = 0 \Rightarrow \vec{\nabla} \cdot \vec{j}(\vec{r}) = 0 & \end{cases}$$

2.2 Ohm の法則



$\Delta\phi$: 電位差

I : 電流

R : 電気抵抗

(単位 $\Omega = V/A$)

l : 導線の長さ

S : 導線の断面積

σ : 電気伝導度 (物質・温度などで決める)

$[\Omega^{-1} \cdot m^{-1}]$

$$I = \frac{\Delta\phi}{R}$$

$$R = \frac{1}{\sigma} \cdot \frac{l}{S}$$

$$\frac{I}{S} = \sigma \frac{\Delta\phi}{l}$$

電流密度 電場
 $j(\vec{r}) = \sigma \vec{E}(\vec{r})$

近似的に成り立つ法則

(Gauss の法則などの Maxwell 方程式は)
 厳密に成り立つと考えられる

2.3 Joule 熱

電荷 q は電場 \vec{E} から力を受ける。

$$\vec{F} = q \vec{E}$$

一方 Ohm の法則では、

$$\vec{j} = \sigma \vec{E}$$

↑ 電荷の平均的な速度は一定。

※ 雨は重力と空気抵抗がつりあって

ほぼ等速度で落下。

重力のする仕事 → 热エネルギーへ

電場が電荷にする仕事率

$$\rho \vec{E} \cdot \frac{d\vec{r}}{dt}$$

単位体積あたりの仕事率

$$\rho \vec{E} \cdot \vec{v} = \vec{j} \cdot \vec{E}$$

→熱エネルギーへ Joule 熱

Ohm の法則より、

$$\vec{j}(\vec{r}) \cdot \vec{E}(\vec{r}) = \sigma |\vec{E}(\vec{r})|^2 = \frac{1}{\sigma} |\vec{j}(\vec{r})|^2$$

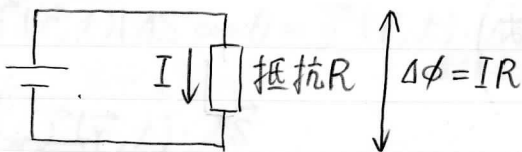
長さ ℓ 、断面積 S の導線での仕事率

$$S \cdot \vec{j}(\vec{r}) \cdot \ell \vec{E}(\vec{r}) = \frac{S \sigma}{\ell} |\ell \vec{E}(\vec{r})|^2 = \frac{\ell}{S \sigma} |S \vec{j}(\vec{r})|^2$$

$$I \Delta \phi = \frac{4 \phi^2}{R} = R I^2$$

§2.4 Kirchhoff の法則

電気回路



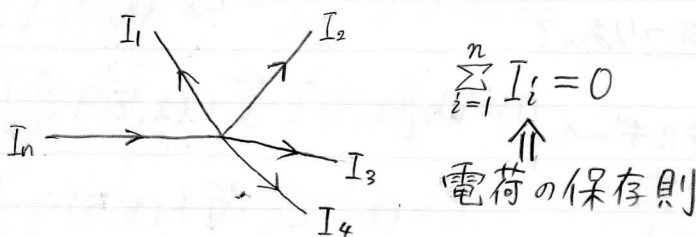
定常電流 → 電池など“電位差を生成するものが必要”

起電力(単位はV)

(化学反応
光や熱のエネルギー)

Kirchhoff の法則

(1)

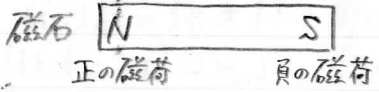


(2) 任意の閉回路

$$\sum (\text{起電力}) = \sum I_i R_i$$

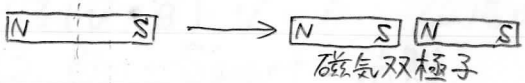
3 静磁場

3.1 電流間に働く力



磁荷間の力 Coulomb の法則

電荷との違い、磁荷は単独では存在しない。



電流に近づけると Ørsted

磁針がふれる Øersted

電流間に力がはたらく... Ampére

平行電流にはたらく単位長さあたりの力の大きさ f

$$f = \frac{\mu_0}{2\pi} \frac{II'}{R}$$

↓
 → I 同じ向きのとき
 ↑ R 引力
 ↓
 → I' 逆向きのとき
 斥力

$$1\text{Aの定義} \Rightarrow \mu_0 = 4\pi \times 10^7 (\text{NA}^{-2})$$

真空中の透磁率

§ 1 では電荷間の力



$$\vec{F}(\vec{r}) = q \vec{E}(\vec{r})$$

$$\vec{E}(\vec{r}) = \frac{1}{4\pi\epsilon_0} \int \frac{\vec{r} - \vec{r}'}{|\vec{r} - \vec{r}'|^3} \rho(\vec{r}') dV'$$

$$\int_C \vec{E} \cdot d\vec{r} = 0$$

$$\epsilon_0 \int_{\partial V} \vec{E} \cdot d\vec{s} = \int_V \rho dV$$

$$\nabla \times \vec{E} = 0, \epsilon_0 \nabla \cdot \vec{E} = \rho$$

$$\vec{E} = -\nabla \phi, \nabla^2 \phi = -\frac{\rho}{\epsilon_0}$$

§3 のあらすじ：電流間の力

$$\vec{F}(\vec{r}) = \mu_0 \vec{v} \times \vec{B}(\vec{r})$$

$$\vec{B}(\vec{r}) = \frac{\mu_0}{4\pi} \int \frac{\vec{j}(\vec{r}') \times (\vec{r} - \vec{r}')}{|\vec{r} - \vec{r}'|^3} dV'$$

$$\int_{\partial S} \vec{B} \cdot d\vec{r} = \mu_0 \int_S \vec{j} \cdot d\vec{s}$$

$$\int_S \vec{B} \cdot d\vec{s} = 0$$

$$\nabla \times \vec{B} = \mu_0 \vec{j}, \nabla \cdot \vec{B} = 0$$

$$\vec{B} = \vec{\nabla} \times \vec{A}, \vec{\nabla} \cdot \vec{A} = 0$$

$$\nabla^2 \vec{A} = -\mu_0 \vec{j}$$

§3.2 ローレンツ力

磁場 \vec{B} が長さ l の電流 I に及ぼす力

$$F = IBl \sin \theta$$

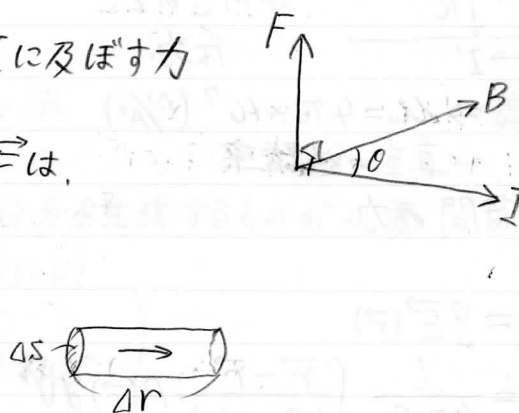
電流要素 $I \Delta \vec{r}$ に働く力 $\Delta \vec{F}$ は、

$$\Delta \vec{F} = I \Delta \vec{r} \times \vec{B}$$

単位体積あたりの力 \vec{f} は、

$$\vec{f} = \vec{j} \times \vec{B}$$

$$I \Delta \vec{r} = \vec{j} \frac{\Delta S \Delta r}{\text{(体積)}}$$



$$\vec{j} = \rho \vec{v} \text{ より,}$$

$$\vec{f} = \rho \vec{v} \times \vec{B}$$

速度 \vec{v} で運動する電荷に

$$\text{はたらく力は } \vec{F} = \mu_0 \vec{v} \times \vec{B}$$

ローレンツ力

この式で \vec{B} を定義する。

$$\text{単位 T(テスラ) } = NC^{-1} \cdot m^{-1} \cdot s$$

$$= kg \cdot s^{-2} \cdot A^{-1}$$

\vec{B} … 磁束密度といわれる。

$$\vec{H} = \frac{1}{\mu_0} \vec{B}$$

で定義される。

磁場の強さ H も用いられる。

(比較: $D = \epsilon_0 \vec{E}$, 電束密度)

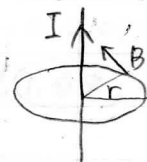
\vec{E} と \vec{B} が同時にある時には、

$$\vec{F} = q \vec{E} + q \vec{v} \times \vec{B}$$

$$q(\vec{v} \times \vec{B}) \cdot \vec{v} = 0 \quad \text{磁場は仕事をしない。}$$

3.3 Biot-Savart の法則

直線電流がつくる磁場



I: 電流

$B(r)$: 磁場の大きさ

$$B(r) = \frac{\mu_0}{2\pi} \cdot \frac{I}{r}$$

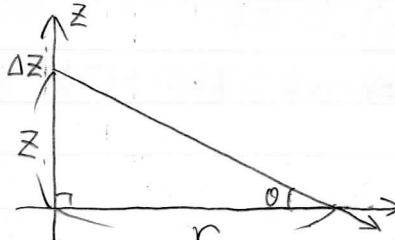
平行電流間に働く力を再現

$$\begin{aligned} & \text{Diagram showing two parallel vertical wires of length } L \text{ separated by distance } R. \\ & \text{Currents: } I \text{ (top wire), } I' \text{ (bottom wire).} \\ & \text{Magnetic field at distance } r \text{ from the bottom wire due to the top wire: } \\ & |\Delta \vec{B}| = I' |\Delta \vec{r}| B(R) \\ & \frac{|\Delta \vec{B}|}{|\Delta \vec{r}|} = \frac{\mu_0}{2\pi} \cdot \frac{I \cdot I'}{R} \end{aligned}$$

電流要素 $I \Delta \vec{r}$ がつくる磁場 \vec{B} を考えよ。

直線上に一様に分布した電荷(線密度 λ)

がつくる電場



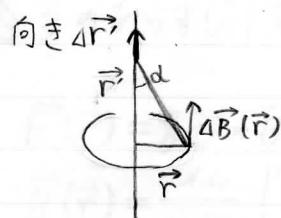
$$\frac{\lambda \Delta Z}{4\pi \epsilon_0} \cdot \frac{1}{r^2 + Z^2} \cdot \frac{r}{\sqrt{r^2 + Z^2}}$$

$$\begin{aligned} E_r(r) &= \frac{\lambda}{4\pi \epsilon_0} \int_{-\infty}^{\infty} \frac{1}{r^2 + Z^2} \cdot \frac{r}{\sqrt{r^2 + Z^2}} dZ \\ &= \frac{\lambda}{2\pi \epsilon_0} \cdot \frac{1}{r} \end{aligned}$$

$$\Delta B = \frac{\mu_0 I \Delta Z}{4\pi} \cdot \frac{1}{r^2 + Z^2} \cdot \frac{r}{\sqrt{r^2 + Z^2}}$$

$$B(r) = \frac{\mu_0 I}{4\pi} \cdot \int_{-\infty}^{\infty} \frac{1}{r^2 + Z^2} \cdot \frac{r}{\sqrt{r^2 + Z^2}} dZ = \frac{\mu_0 I}{2\pi} \cdot \frac{1}{r}$$

→ \vec{B} を磁場と呼ぶことにする



$$|\vec{r}| = r, |\vec{r}'| = z$$

$$|\vec{r} - \vec{r}'| = \sqrt{r^2 + z^2}$$

$$d\alpha \propto \frac{r}{\sqrt{r^2 + z^2}}$$

$$|\Delta \vec{r} \times (\vec{r} - \vec{r}')| = \Delta z \cdot \sqrt{r^2 + z^2} \propto \Delta \alpha = \Delta z \cdot r$$

$$\Delta \vec{B}(\vec{r}) = \frac{\mu_0}{4\pi} \frac{I \Delta \vec{r} \times (\vec{r} - \vec{r}')}{|\vec{r} - \vec{r}'|^3}$$

— Biot-Savart の法則 —

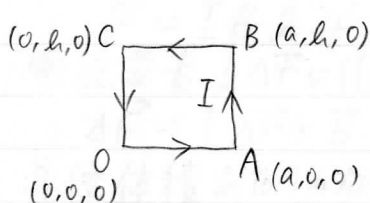
$$C \quad I \quad \vec{B}(\vec{r}) = \frac{\mu_0 I}{4\pi} \int_C \frac{d\vec{r}' \times (\vec{r} - \vec{r}')}{|\vec{r} - \vec{r}'|^3}$$

$$\text{連続分布} \quad I \Delta \vec{r}' = \vec{j} \Delta S' \Delta r' = \vec{j} \Delta V'$$

$$\Delta S' () \Rightarrow$$

$$\vec{B}(\vec{r}) = \int \frac{\vec{j}(\vec{r}) \times (\vec{r} - \vec{r}')}{|\vec{r} - \vec{r}'|^3} dV'$$

§ 3.4 磁気双極子



$$\text{電流 } I \text{ が } \vec{r} = (x, y, z) \text{ に } < 3 \text{ 磁場 } \vec{B}(\vec{r})$$

$$\vec{B}(\vec{r}) = \vec{B}^{OA}(\vec{r}) + \vec{B}^{AB}(\vec{r}) + \vec{B}^{BC}(\vec{r}) + \vec{B}^{CO}(\vec{r})$$

$$OA(x', 0, 0), 0 \leq x' \leq a$$

$$\Delta \vec{r}' \times (\vec{r} - \vec{r}')$$

$$= (\Delta x', 0, 0) \times (x - x', y, z)$$

$$= (0, -\Delta x' z, \Delta x' y)$$

$$B_x^{OA}(\vec{r}) = 0.$$

$$B_y^{OA}(\vec{r}) = -\frac{\mu_0 I}{4\pi} \int_0^a \frac{z}{[(x-x')^2 + y^2 + z^2]^{3/2}} dx'$$

$$B_z^{OA}(\vec{r}) = \frac{\mu_0 I}{4\pi} \int_0^a \frac{y}{[(x-x')^2 + y^2 + z^2]^{3/2}} dx'$$

$\vec{B}^{AB}(\vec{r})$ も同様に求められる。

$\vec{B}_{BC}^{BC}(\vec{r})$ は符号に注意するために.

$$BC: X'(s) = a(1-s), Y'(s) = b, Z'(s) = 0 \quad (0 \leq s \leq 1)$$

とパラメータ表示して.

$$\vec{B}_{BC}^{BC}(\vec{r}) = \frac{\mu_0 I}{4\pi} \int_0^1 \frac{\frac{d\vec{r}'(s)}{ds} \times (\vec{r} - \vec{r}'(s))}{|\vec{r} - \vec{r}'(s)|^3} ds$$

また計算すると.

$$\frac{d\vec{r}'(s)}{ds} = (-a, 0, 0)$$

$$\begin{aligned} & (-a, 0, 0) \times (x - a(1-s), y - b, z) \\ &= (0, az, -a(y-b)) \end{aligned}$$

$$B_x^{BC}(\vec{r}) = 0$$

$$\begin{aligned} B_y^{BC}(\vec{r}) &= \frac{\mu_0 I}{4\pi} \int_0^1 \frac{az}{[(x-a(1-s))^2 + (y-b)^2 + z^2]^{3/2}} ds \\ &= \frac{\mu_0 I}{4\pi} \int_0^a \frac{z}{[(x-x')^2 + (y-b)^2 + z^2]^{3/2}} dx' \\ &\quad (x' = a(1-s) \text{ と変数置換}) \end{aligned}$$

同様に.

$$B_z^{BC}(\vec{r}) = -\frac{\mu_0 I}{4\pi} \int_0^a \frac{y-b}{[(x-x')^2 + (y-b)^2 + z^2]^{3/2}} dx'$$

$\vec{B}_{CD}^{CD}(\vec{r})$ も同様に求められる.

No. 46

Date

最終結果

$$B_x(\vec{r}) = \frac{\mu_0 I}{4\pi} \int_0^h \frac{z}{[(x-a)^2 + (y-y')^2 + z^2]^{\frac{3}{2}}} dy' \\ - \frac{\mu_0 I}{4\pi} \int_0^h \frac{z}{[x^2 + (y-y')^2 + z^2]^{\frac{3}{2}}} dy'$$

$$B_y(\vec{r}) = \frac{\mu_0 I}{4\pi} \int_0^a \frac{z}{[(x-x')^2 + (y-h)^2 + z^2]^{\frac{3}{2}}} dx' \\ - \frac{\mu_0 I}{4\pi} \int_0^a \frac{z}{[(x-x')^2 + y^2 + z^2]^{\frac{3}{2}}} dx'$$

$$B_z(\vec{r}) = \frac{\mu_0 I}{4\pi} \int_0^a \frac{y}{[(x-x')^2 + y^2 + z^2]^{\frac{3}{2}}} dx' \\ - \frac{\mu_0 I}{4\pi} \int_0^a \frac{y-h}{[(x-x')^2 + (y-h)^2 + z^2]^{\frac{3}{2}}} dx' \\ + \frac{\mu_0 I}{4\pi} \int_0^h \frac{x}{[x^2 + (y-y')^2 + z^2]^{\frac{3}{2}}} dy' \\ - \frac{\mu_0 I}{4\pi} \int_0^h \frac{x-a}{[(x-a)^2 + (y-y')^2 + z^2]^{\frac{3}{2}}} dy'$$

$r \equiv |\vec{r}|$ かつ $r \gg a, r \gg h$ のとき

$$[(x-a)^2 + (y-y')^2 + z^2]^{-\frac{3}{2}} \\ \simeq \frac{1}{r^3} \left(1 - \frac{2xa}{r^2} - \frac{2yy'}{r^2}\right)^{-\frac{3}{2}}$$

$$\simeq \frac{1}{r^3} \left(1 + \frac{3xa}{r^2} + \frac{3yy'}{r^2}\right)$$

$$B_x(\vec{r}) \simeq \frac{\mu_0 I}{4\pi} \int_0^h \frac{z}{r^3} \left(1 + \frac{3xa}{r^2} + \frac{3yy'}{r^2}\right) dy' \\ - \frac{\mu_0 I}{4\pi} \int_0^h \frac{z}{r^3} \left(1 + \frac{3yy'}{r^2}\right) dy'$$

$$= \frac{\mu_0 I}{4\pi} \cdot \frac{3ahlz}{r^5}$$

同様に

$$B_y(\vec{r}) = \frac{\mu_0 I}{4\pi} \frac{3ahzy}{r^5}$$

$$B_z(\vec{r}) = \frac{\mu_0 I}{4\pi} \frac{ah(3z^2 - r^2)}{r^5}$$

電気双極子 $\vec{p} = (0, 0, p)$

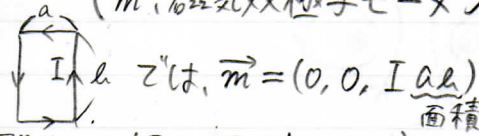
$$\vec{E}(\vec{r}) = \left(\frac{p}{4\pi\epsilon_0} \frac{3zx}{r^5}, \frac{p}{4\pi\epsilon_0} \frac{3zy}{r^5}, \frac{p}{4\pi\epsilon_0} \frac{3z^2 - r^2}{r^5} \right)$$

と同じ形

磁気双極子 (小さな磁石)

$$\vec{B}(\vec{r}) = \frac{\mu_0}{4\pi} \left(\frac{3(\vec{m} \cdot \vec{r}) \vec{r}}{|\vec{r}|^5} - \frac{\vec{m}}{|\vec{r}|^3} \right)$$

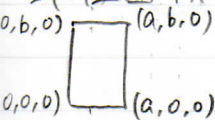
(\vec{m} : 磁気双極子モーメント)



磁気双極子層 (板磁石)

磁気双極子が面状に分布。

単位面積あたりの \vec{m} が $(0, 0, \sigma)$ で



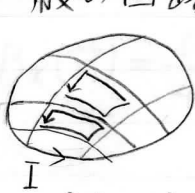
という面のとき。

$$\begin{aligned} \vec{B}_x(\vec{r}) &= \int_0^b \int_0^a \frac{3z(x-x')}{[(x-x')^2 + (y-y')^2 + z^2]^{5/2}} dx' dy' \\ &= \frac{\mu_0 \sigma}{4\pi} \int_0^b \int_0^a \frac{\partial}{\partial x'} \frac{z}{[(x-x')^2 + (y-y')^2 + z^2]^{3/2}} dx' dy' \\ &= \frac{\mu_0 \sigma}{4\pi} \int_0^b \frac{z}{[(x-a)^2 + (y-y')^2 + z^2]^{3/2}} dy' \\ &\quad - \frac{\mu_0 \sigma}{4\pi} \int_0^b \frac{z}{[x^2 + (y-y')^2 + z^2]^{3/2}} dy' \end{aligned}$$

$\sigma = I$ とするとき、先ほどの $B_x(\vec{r})$ と一致。

$B_y(\vec{r}), B_z(\vec{r})$ も一致。

一般の回路でも、



S : 面
 ∂S : S の境界



∂S に流れる電流 I がつくる磁場

||

S に面密度 I で分布する磁気双極子層の磁場

(∂S が同じなら S の形状に依らない)

立体角を用いた表式で直接的に示すこともできる。(省略)

電気双極子の分布がつくる電場 $E(\vec{r})$ は、

$$\int_S \vec{E} \cdot d\vec{s} = 0 \Leftrightarrow \nabla \cdot \vec{E} = 0 \text{ を満たす。}$$

一般の電流分布がつくる磁場 $\vec{B}(\vec{r})$ は、磁気双極子の分布がつくる磁場と同じだから、

$$\boxed{\int_S \vec{B} \cdot d\vec{s} = 0 \Leftrightarrow \nabla \cdot \vec{B} = 0}$$

を満たす。

(磁場が単独で存在しないことを表す)

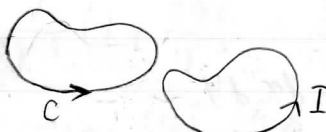
$$\vec{B}(\vec{r}) = \frac{\mu_0}{4\pi} \int \frac{\vec{j}(\vec{r}') \times (\vec{r} - \vec{r}')}{| \vec{r} - \vec{r}' |^3} dV'$$

から直接示すことができる。

§ 3.5 Ampère の法則

$\int_C \vec{B} \cdot d\vec{r}$ を考える。

(i)



電流 I がつくる磁場 \vec{B} は

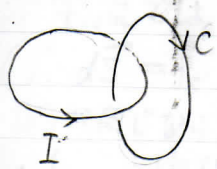
磁気双極子層がつくる磁場と同じ。

電気双極子の分布がつくる電場 \vec{E} では、

$$\int_C \vec{E} \cdot d\vec{r} = 0$$

$$\text{よって } \int_C \vec{B} \cdot d\vec{r} = 0.$$

(ii)



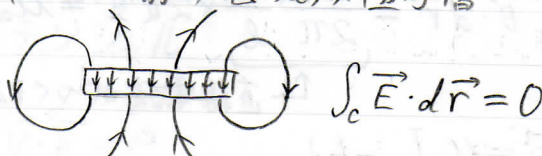
この場合は注意が必要.

電気双極子

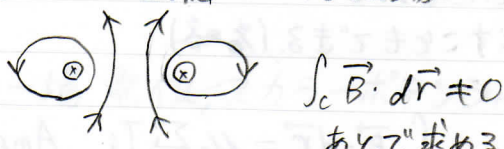
$$\vec{E}(\vec{r}) = \frac{1}{4\pi\epsilon_0} \left(\frac{3(\vec{P} \cdot \vec{r})\vec{r}}{|\vec{r}|^5} - \frac{\vec{P}}{|\vec{r}|^3} \right) \text{ は}$$

$\vec{P} = q\vec{d}$ に使って
 $\vec{d} \rightarrow 0$ とする極限で得られる。

極限をとる前の電気双極子像



対応する電流がつくる磁場

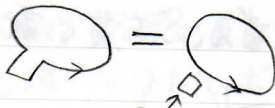


あとでわかる。

(i)



(iii)と同じく回路を変形。



この部分からの磁場を $\Delta \vec{B}(\vec{r})$ とする。

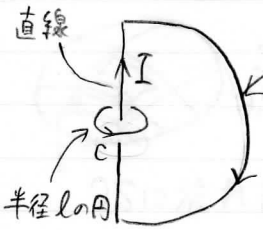
(i)より $\int_C \Delta \vec{B} \cdot d\vec{r} = 0 \Rightarrow \int_C \vec{B} \cdot d\vec{r}$ (は(iii)と同じ)

回路は(iii)と同じ。

経路を C から C' に変形。

$$\begin{aligned} C &= C \square_{AC} C' \quad \int_C \vec{B} \cdot d\vec{r} = \int_C \vec{B} \cdot d\vec{r} + \underbrace{\int_{AC} \vec{B} \cdot d\vec{r}}_{= \int_C \vec{B} \cdot d\vec{r}} \\ &\quad \square ((i) \text{より}) \end{aligned}$$

(iii)と(iv)を使って以下のように変形。



半径Rの弧

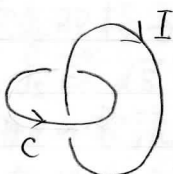
半径Rの弧の部分からの \vec{B} はCのあたりでは、

$$\frac{\mu_0 I}{4\pi} \int \frac{d\vec{r}' \times (\vec{r} - \vec{r}')}{|\vec{r} - \vec{r}'|^3} \xrightarrow{(R \rightarrow \infty)} 0$$

長さ πR $\frac{1}{R^2}$

$$\text{よって } \int_C \vec{B} \cdot d\vec{r} = \frac{\mu_0 I}{2\pi l} \times 2\pi l = \mu_0 I$$

直線電流がつくる磁場

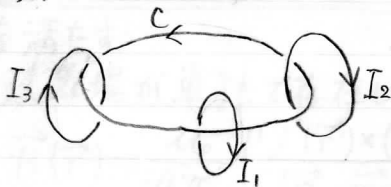


$$\int_C \vec{B} \cdot d\vec{r} = \mu_0 I.$$

立体角を用いた表式で

直接的に出すこともできる。(省略)

複数の回路がある場合。

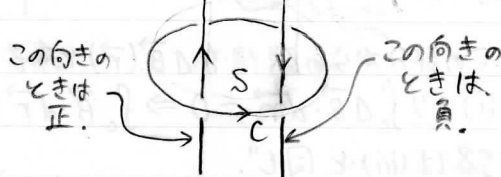


$$\int_C \vec{B} \cdot d\vec{r} = \mu_0 \sum_i I_i \quad \text{Ampèreの法則}$$

境界 ∂S がCになるよう

曲面 S を考え、 S を貫く電流の和

$$\mu_0 (I_1 + I_2 - I_3)$$



連続分布

$$\int_{\partial S} \vec{B} \cdot d\vec{r} = \mu_0 \int_S \vec{j} \cdot d\vec{S}$$

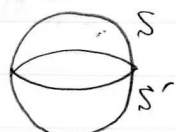
$\partial S = \partial S'$ のとき、

$$\int_S \vec{j} \cdot d\vec{S} - \int_{S'} \vec{j} \cdot d\vec{S} = \int_{S-S'} \vec{j} \cdot d\vec{S}$$

$$= \int_V \nabla \cdot \vec{j} dV \quad S \text{ と } S' \text{ で } " \text{ 閉曲面 }$$

Gaussの定理

$$\partial V = S - S'$$



定常電流では $\vec{\nabla} \cdot \vec{j} = 0$ より、

$$\int_S \vec{j} \cdot d\vec{s} = \int_S \vec{j} \cdot d\vec{s}$$

∂S が同じなら S の形に依らない。

Stokes の定理より、

$$\int_{\partial S} \vec{B} \cdot d\vec{r} = \int_S (\vec{\nabla} \times \vec{B}) \cdot d\vec{s}$$

$$\boxed{\vec{\nabla} \times \vec{B} = \mu_0 \vec{j}}$$

Ampère の法則の微分形

3.6 ベクトルポテンシャル

静電場

$$\vec{\nabla} \times \vec{E} = 0, \epsilon_0 \vec{\nabla} \cdot \vec{E} = P$$

$$\vec{E} = -\vec{\nabla} \phi \text{ であれば } \vec{\nabla} \times \vec{E} = 0 \text{ は満たされる。}$$

満たされる。

$\phi(\vec{r})$: スカラー場 電位, スカラーポテンシャル

静磁場

$$\vec{\nabla} \times \vec{B} = \mu_0 \vec{j}, \vec{\nabla} \cdot \vec{B} = 0$$

$$\vec{B} = \vec{\nabla} \times \vec{A} \text{ であれば } \vec{\nabla} \cdot \vec{B} = 0 \text{ は満たされる。}$$

$\vec{A}(\vec{r})$: ベクトル場 ベクトルポテンシャル

証明

$$\vec{\nabla} \cdot (\vec{\nabla} \times \vec{A})$$

$$= \frac{\partial}{\partial x} \left(\frac{\partial A_z}{\partial y} - \frac{\partial A_y}{\partial z} \right) + \frac{\partial}{\partial y} \left(\frac{\partial A_x}{\partial z} - \frac{\partial A_z}{\partial x} \right) + \frac{\partial}{\partial z} \left(\frac{\partial A_y}{\partial x} - \frac{\partial A_x}{\partial y} \right)$$

$$= 0 \quad \left(\frac{\partial^2 A_z}{\partial x \partial y} = \frac{\partial^2 A_z}{\partial y \partial x} \text{ などにより} \right)$$

同じ $\vec{B}(\vec{r})$ を与える $\vec{A}(\vec{r})$ は一意ではない。

任意のスカラー場 $\Lambda(\vec{r})$ に対して $\vec{\nabla} \times \vec{\nabla} \Lambda(\vec{r}) = 0$ ので

$\vec{A}(\vec{r})$ に $\vec{\nabla} \Lambda(\vec{r})$ を加えても同じ $\vec{B}(\vec{r})$ を与える。

$\vec{B}(\vec{r})$ を変えない $\vec{A}(\vec{r})$ の変換

$$\vec{A}'(\vec{r}) = \vec{A}(\vec{r}) + \vec{\nabla} \Lambda(\vec{r})$$

をゲージ (gauge) 変換という。

$\vec{B} = \vec{\nabla} \times \vec{A}$ のとき、もう一つの式

$$\vec{\nabla} \times \vec{B} = \mu_0 \vec{j} \text{ は}$$

$$\vec{\nabla} \times (\vec{\nabla} \times \vec{A}) = \mu_0 \vec{j} \text{ である。}$$

左辺の X 成分

$$\frac{\partial}{\partial y} (\vec{\nabla} \times \vec{A})_z - \frac{\partial}{\partial z} (\vec{\nabla} \times \vec{A})_y$$

$$= \frac{\partial}{\partial y} \left(\frac{\partial A_z}{\partial x} - \frac{\partial A_x}{\partial z} \right) - \frac{\partial}{\partial z} \left(\frac{\partial A_x}{\partial z} - \frac{\partial A_z}{\partial x} \right)$$

$$= - \left(\frac{\partial^2 A_x}{\partial y^2} + \frac{\partial^2 A_x}{\partial z^2} \right) + \frac{\partial}{\partial x} \left(\frac{\partial A_y}{\partial y} + \frac{\partial A_z}{\partial z} \right)$$

$$= - \left(\frac{\partial^2 A_x}{\partial x^2} + \frac{\partial^2 A_x}{\partial y^2} + \frac{\partial^2 A_x}{\partial z^2} \right) + \frac{\partial}{\partial x} \left(\frac{\partial A_x}{\partial x} + \frac{\partial A_y}{\partial y} + \frac{\partial A_z}{\partial z} \right)$$

$$= - \nabla^2 A_x + \frac{\partial}{\partial x} (\vec{\nabla} \cdot \vec{A})$$

Y 成分、Z 成分も同様

$$-\nabla^2 A_y + \vec{\nabla} (\vec{\nabla} \cdot \vec{A}) = \mu_0 \vec{j}$$

解は一意ではない。 $\vec{A}(\vec{r})$ が解ならば

ゲージ変換した $\vec{A}'(\vec{r}) = \vec{A}'(\vec{r}) + \vec{\nabla} \Lambda(\vec{r})$ も解。

$$\begin{aligned} & - \nabla^2 \vec{A}' + \vec{\nabla} (\vec{\nabla} \cdot \vec{A}') \\ &= - \nabla^2 \vec{A}' + \vec{\nabla} (\vec{\nabla} \cdot \vec{A}') - \underbrace{\nabla^2 \vec{\nabla} \Lambda}_{0} + \vec{\nabla} (\vec{\nabla} \cdot \vec{\nabla} \Lambda) \end{aligned}$$

$$= \mu_0 \vec{j}$$

うまくゲージ変換すれば $\vec{\nabla} \cdot \vec{A} = 0$ を満たすように出来る。

$$\vec{\nabla} \cdot \vec{A}'(\vec{r}) = \alpha(\vec{r}) \text{ だったら}$$

$$\begin{aligned} \vec{\nabla} \cdot \vec{A}'(\vec{r}) &= \vec{\nabla} \cdot \vec{A}'(\vec{r}) + \vec{\nabla} \cdot \vec{\nabla} \Lambda(\vec{r}) \\ &= \alpha(\vec{r}) + \nabla^2 \Lambda(\vec{r}) = 0 \end{aligned}$$

という Poisson 方程式の解である $\Lambda(\vec{r})$ を使って

ゲージ変換すればよい。一般にこのような条件を

ゲージ固定条件と呼び、 $\vec{\nabla} \cdot \vec{A}'(\vec{r}) = 0$ は

Coulomb ゲージの条件と呼ばれる。

Coulombゲージでは解くべき方程式は

$$\nabla^2 \vec{A}(\vec{r}) = -\mu_0 \vec{j}(\vec{r})$$

となる。X, Y, Z各成分の式は静電場の

$$\nabla^2 \phi(\vec{r}) = -\frac{1}{\epsilon_0} P(\vec{r})$$

と同じ形なので $\vec{r} \rightarrow \infty$ で $\vec{A}(\vec{r}) \rightarrow 0$

となる解は

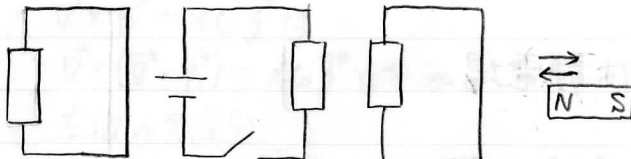
$$\vec{A}(\vec{r}) = \frac{\mu_0}{4\pi} \int \frac{\vec{j}'(\vec{r}')}{|\vec{r} - \vec{r}'|} dV'$$

Coulombゲージの条件を満たしていることを確認できる。 $(\vec{\nabla} \cdot \vec{j}) = 0$ が必要

$\vec{B} = \vec{\nabla} \times \vec{A}$ を計算すると、Biot-Savartの法則が再現できる。

§4 時間変化する電磁場

§4.1 電磁誘導



Faraday

回路を貫く磁束が変化すると起電力が生じる 電磁誘導

磁束 Φ

$$\Phi = \int_S \vec{B} \cdot d\vec{S}$$

$d\vec{S}$ が同じとき、 $\nabla \cdot \vec{B} = 0$ ならば

Φ は S の形によらない。

(Ampère の法則の $\int_S \vec{j} \cdot d\vec{S}$ と同様)

起電力 (electro motive force) ϕ_{emf}

$$\phi_{emf} = -\frac{d\Phi}{dt}$$

ϕ_{emf} がつくる電流が
つくる磁場が重の変化を
打ち消すよう向き

Lenz の法則

回路の有無によらず

$$\phi_{emf} = \int_{as} \vec{E} \cdot d\vec{r}$$

という電場 \vec{E} が生じているからと考えられる。

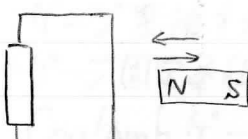
$$\int_{as} \vec{E} \cdot d\vec{r} = - \int_S \frac{\partial \vec{B}}{\partial t} \cdot d\vec{S}$$

Stokes の定理より、

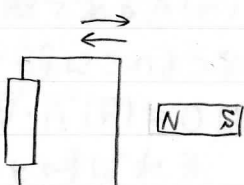
$$\int_{as} \vec{E} \cdot d\vec{r} = \int_S (\nabla \times \vec{E}) \cdot d\vec{S}$$

$$\nabla \times \vec{E} + \frac{\partial \vec{B}}{\partial t} = 0$$

(i)



(ii)

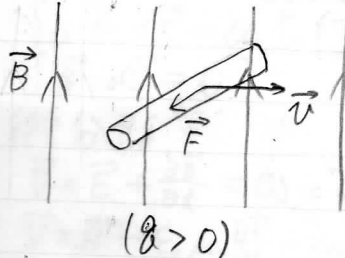


別の慣性系

(iii) でも起電力は生じる。

静磁場中を運動する導体棒

(簡単にするため 棒の向き、速さ、 \vec{B} は
たがいに垂直であるとする)



導体中の電荷 q は

$$\vec{F} = q \vec{v} \times \vec{B}$$

という Lorentz 力を受けて移動し、
 $\vec{E} = -\vec{v} \times \vec{B}$

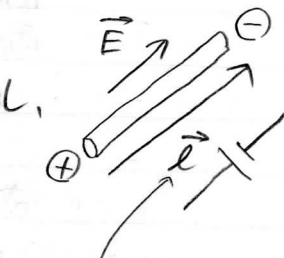
という電場をつくる分布になっただところで「平行」

$$\Rightarrow \phi_{emf} = (\vec{v} \times \vec{B}) \cdot \vec{l}$$

一般の回路では

$$\phi_{emf} = \int_C (\vec{v} \times \vec{B}) \cdot d\vec{r}$$

これは $\phi_{emf} = -\frac{d\Phi}{dt}$ と書ける。



両端の位置ベクトルの差



$$\phi_{emf} = \int_C (\vec{v} \times \vec{B}) \cdot d\vec{r}$$

$$\phi_{emf} = -\frac{d\Phi}{dt}$$

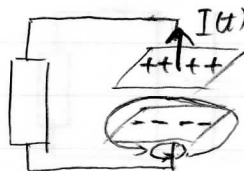
$$\begin{aligned} \Delta \vec{r} \times (\vec{v} \times \vec{B}) &= \vec{B} \cdot (\vec{v} \times \Delta \vec{r}) \\ &= \Delta \vec{r} \cdot (\vec{B} \times \vec{v}) \\ &= -\Delta \vec{r} \cdot (\vec{v} \times \vec{B}) \end{aligned}$$

$$\frac{d\Phi}{dt} = - \int_C (\vec{v} \times \vec{B}) \cdot d\vec{r} = -\phi_{emf}$$

(i) と (iii) の起電力の起源は異なるように見える。

⇒ 特殊相対性理論

§4.2 変位電流



Ampèreの法則より

$$\int_{\partial S} \vec{B} \cdot d\vec{r} = \mu_0 \int_S \vec{j} \cdot d\vec{S}$$

右辺の S の形に依らないためには
 $\nabla \cdot \vec{j} = 0$ でなければならぬ。

微分形 $\nabla \times \vec{B} = \mu_0 \vec{j}$

両辺の発散は

$$0 = \nabla \cdot (\nabla \times \vec{B}) = \mu_0 \nabla \cdot \vec{j} \Rightarrow \nabla \cdot \vec{j} = 0$$

定常電流 $\nabla \cdot \vec{j}(r) = 0$

時間変化するときは、

$$\frac{\partial}{\partial t} P(\vec{r}, t) + \nabla \cdot \vec{j}(\vec{r}, t) = 0$$

\Rightarrow 一般には $\nabla \cdot \vec{j} \neq 0$

Ampèreの法則の変更が必要

Gaussの法則は成り立つと仮定すると、

$$\frac{\partial}{\partial t} \left\{ \epsilon_0 \nabla \cdot \vec{E}(\vec{r}, t) \right\} + \nabla \cdot \vec{j}(\vec{r}, t) = 0$$

$$\nabla \cdot [\vec{j}(\vec{r}, t) + \epsilon_0 \frac{\partial \vec{E}(\vec{r}, t)}{\partial t}] = 0$$

$$\int_{\partial S} \vec{B} \cdot d\vec{r} = \mu_0 \int_S (\vec{j} + \underbrace{\epsilon_0 \frac{\partial \vec{E}}{\partial t}}) \cdot d\vec{S}$$

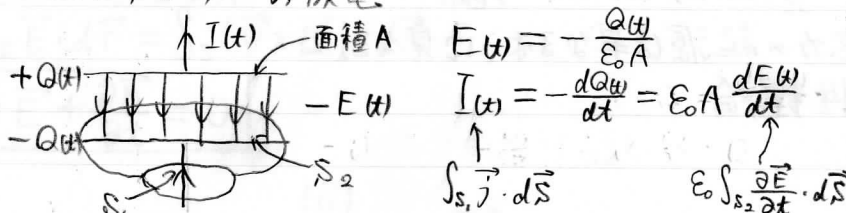
変位電流

Maxwell-Ampèreの法則

微分形

$$\nabla \times \vec{B} - \epsilon_0 \mu_0 \frac{\partial \vec{E}}{\partial t} = \mu_0 \vec{j}$$

コンデンサーの放電



$$E(t) = -\frac{Q(t)}{\epsilon_0 A}$$

$$I(t) = -\frac{dQ(t)}{dt} = \epsilon_0 A \frac{dE(t)}{dt}$$

$$\int_S \vec{j} \cdot d\vec{S}$$

$$\epsilon_0 \int_{S_2} \frac{\partial \vec{E}}{\partial t} \cdot d\vec{S}$$

変位電流

Maxwellが理論の整合性から導入

→電磁波の存在を予言

→Hertzによって実験的に確認

3 Maxwell 方程式

積分形

$$\int_{\partial S} \vec{E} \cdot d\vec{r} = - \int_S \frac{\partial \vec{B}}{\partial t} \cdot d\vec{s}$$

$$\epsilon_0 \int_{\partial V} \vec{E} \cdot d\vec{s} = \int_V \rho dV$$

$$\int_{\partial S} \vec{B} \cdot d\vec{r} = \mu_0 \int_S \left(\vec{j} + \epsilon_0 \frac{\partial \vec{E}}{\partial t} \right) \cdot d\vec{s}$$

$$\int \vec{B} \cdot d\vec{s} = 0$$

微分形

$$\vec{\nabla} \times \vec{E} + \frac{\partial \vec{B}}{\partial t} = 0, \quad \epsilon_0 \vec{\nabla} \cdot \vec{E} = \rho$$

$$\vec{\nabla} \times \vec{B} - \epsilon_0 \mu_0 \frac{\partial \vec{E}}{\partial t} = \mu_0 \vec{j}, \quad \vec{\nabla} \cdot \vec{B} = 0$$

電荷の保存則

$$\begin{aligned} \frac{\partial \rho}{\partial t} + \vec{\nabla} \cdot \vec{j} &= \frac{\partial}{\partial t} (\epsilon_0 \vec{\nabla} \cdot \vec{E}) + \vec{\nabla} \cdot \left(\frac{1}{\mu_0} \vec{\nabla} \times \vec{B} - \epsilon_0 \frac{\partial \vec{E}}{\partial t} \right) \\ &= \epsilon_0 \vec{\nabla} \cdot \frac{\partial \vec{E}}{\partial t} + \frac{1}{\mu_0} \vec{\nabla} \cdot (\vec{\nabla} \times \vec{B}) - \epsilon_0 \vec{\nabla} \cdot \frac{\partial \vec{E}}{\partial t} = 0 \end{aligned}$$

Maxwell 方程式から導かれる。

ある時刻で $\vec{\nabla} \cdot \vec{B} = 0, \epsilon_0 \vec{\nabla} \cdot \vec{E} - \rho = 0$ であるとする。

$$\frac{\partial}{\partial t} (\vec{\nabla} \cdot \vec{B}) = \vec{\nabla} \cdot \frac{\partial \vec{B}}{\partial t} = - \vec{\nabla} \cdot (\vec{\nabla} \times \vec{E}) = 0.$$

$$\frac{\partial}{\partial t} (\epsilon_0 \vec{\nabla} \cdot \vec{E} - \rho) = \epsilon_0 \vec{\nabla} \cdot \frac{\partial \vec{E}}{\partial t} - \frac{\partial \rho}{\partial t}$$

$$= \vec{\nabla} \cdot \left(\frac{1}{\mu_0} \vec{\nabla} \times \vec{B} - \vec{j} \right) - \frac{\partial \rho}{\partial t}$$

$$= \frac{1}{\mu_0} \vec{\nabla} \cdot (\vec{\nabla} \times \vec{B}) - \left(\frac{\partial \rho}{\partial t} + \vec{\nabla} \cdot \vec{j} \right) = 0$$

\Rightarrow その後も $\vec{\nabla} \cdot \vec{B} = 0, \epsilon_0 \vec{\nabla} \cdot \vec{E} - \rho = 0$

成分ごとに数えて 6つの方程式

$$\vec{\nabla} \times \vec{E} + \frac{\partial \vec{B}}{\partial t} = 0$$

$$\vec{\nabla} \times \vec{B} - \epsilon_0 \mu_0 \frac{\partial \vec{E}}{\partial t} = \mu_0 \vec{j}$$

が \vec{E} と \vec{B} (合計 6成分) の時間発展を決める。

$$\epsilon_0 \vec{\nabla} \cdot \vec{E} = \rho$$

$$\vec{\nabla} \cdot \vec{B} = 0 \text{ は拘束条件}$$

時間変化する場合でも、 $\vec{\nabla} \cdot \vec{B}(\vec{r}, t) = 0$

とおいて $\vec{B}(\vec{r}, t) = \vec{\nabla} \times \vec{A}(\vec{r}, t)$ を書ける。

一方、 $\vec{\nabla} \times \vec{E}(\vec{r}, t) \neq 0$ なので、一般には $\vec{E}(\vec{r}, t) \neq -\vec{\nabla} \phi(\vec{r}, t)$

$$\text{(しかし)} \quad \vec{\nabla} \times \vec{E} + \frac{\partial \vec{B}}{\partial t} = \vec{\nabla} \times \vec{E} + \frac{\partial}{\partial t} (\vec{\nabla} \times \vec{A})$$

$$= \vec{\nabla} \times (\vec{E} + \frac{\partial \vec{A}}{\partial t}) = 0 \text{ ので。}$$

$$\vec{E}(\vec{r}, t) \neq \frac{\partial \vec{A}(\vec{r}, t)}{\partial t} = -\vec{\nabla} \phi(\vec{r}, t) \text{ と書けます。}$$

$$\boxed{\vec{E}(\vec{r}, t) = -\frac{\partial \vec{A}(\vec{r}, t)}{\partial t} - \vec{\nabla} \phi(\vec{r}, t)}$$

$$\boxed{\vec{B}(\vec{r}, t) = \vec{\nabla} \times \vec{A}(\vec{r}, t)}$$

$$\vec{A}'(\vec{r}, t) = \vec{A}(\vec{r}, t) + \vec{\nabla}$$

$$\frac{\partial}{\partial t} U(\vec{r}, t) + \vec{\nabla} \cdot \vec{S}(\vec{r}, t) = -\vec{j}(\vec{r}, t) \cdot \vec{E}(\vec{r}, t)$$

$\vec{j}(\vec{r}, t) \cdot \vec{E}(\vec{r}, t)$: 電場が電荷にする

単位体積あたりの仕事率 (§2.3)

$$\frac{\partial}{\partial t} \int_V U dV \leftarrow V \text{ 中のエネルギー変化}$$

$$= - \int_V (\vec{\nabla} \cdot \vec{S}) dV - \int_V (\vec{j} \cdot \vec{E}) dV$$

$$= - \int_{\partial V} \vec{S} \cdot d\vec{S} - \int_V (\vec{j} \cdot \vec{E}) dV$$

Gauss の定理 \uparrow \uparrow
 $\vec{\nabla} \cdot \vec{S}$ を通って 電荷による仕事率
 移動する エネルギー

§4.5 電磁波

$\rho = 0, \vec{j} = 0$ のとき、

$$\vec{\nabla} \times \vec{E} + \frac{\partial \vec{B}}{\partial t} = 0 \quad \vec{\nabla} \times \vec{B} - \epsilon_0 \mu_0 \frac{\partial \vec{E}}{\partial t} = 0$$

$$\vec{\nabla} \cdot \vec{E} = 0 \quad \vec{\nabla} \cdot \vec{B} = 0$$

\vec{E} と \vec{B} が z と t のみの関数の場合 ($\frac{\partial}{\partial x}$ と $\frac{\partial}{\partial y}$ の項はゼロ)

$$-\frac{\partial E_y}{\partial z} + \frac{\partial B_x}{\partial t} = 0 \quad \frac{\partial B_z}{\partial t} = 0 \quad -\frac{\partial B_y}{\partial z} - \epsilon_0 \mu_0 \frac{\partial E_x}{\partial t} = 0 \quad -\epsilon_0 \mu_0 \frac{\partial E_z}{\partial t} = 0$$

$$\frac{\partial E_x}{\partial y} + \frac{\partial B_y}{\partial t} = 0 \quad \frac{\partial E_z}{\partial z} = 0 \quad \frac{\partial B_x}{\partial z} - \epsilon_0 \mu_0 \frac{\partial E_y}{\partial t} = 0 \quad \frac{\partial B_z}{\partial z} = 0$$

$E_z, B_z: z, t$ に依らない定数

E_x と B_y を含む式

$$\left\{ \frac{\partial E_x(z, t)}{\partial z} + \frac{\partial B_y(z, t)}{\partial t} = 0 \right. \quad \text{--- ①}$$

$$\left. -\frac{\partial B_y(z, t)}{\partial z} - \epsilon_0 \mu_0 \frac{\partial E_x(z, t)}{\partial t} = 0 \right. \quad \text{--- ②}$$

B_y を消去。

$$\frac{\partial}{\partial z} (\textcircled{1} \text{の式}) + \frac{\partial}{\partial t} (\textcircled{2} \text{の式}) = 0$$

$$\frac{\partial^2 E_x(z,t)}{\partial z^2} - \epsilon_0 \mu_0 \frac{\partial^2 E_x(z,t)}{\partial t^2} = 0 \quad \text{波动方程式}$$

$$E_x(z,t) = E_0 \cos(\kappa z - \omega t) \quad (E_0 > 0, \kappa > 0 \Leftarrow \text{簡単にするため})$$

(κ : 波数 $\lambda = \frac{2\pi}{\kappa}$: 波長 ω : 角振動数 $T = \frac{2\pi}{\omega}$: 周期)

を代入すると。

$$\{-\kappa^2 - \epsilon_0 \mu_0 (-\omega^2)\} E_0 \cos(\kappa z - \omega t) = 0$$

$$\Rightarrow \omega = C \kappa, \quad C \equiv \sqrt{\epsilon_0 \mu_0}$$

$$By \text{ は, } By(z,t) = B_0 \cos(\kappa z - \omega t)$$

そして, \textcircled{1}, \textcircled{2} に代入すると。

$$\textcircled{1} \Rightarrow (-\kappa E_0 + \omega B_0) \sin(\kappa z - \omega t) = 0$$

$$\textcircled{2} \Rightarrow (\kappa B_0 - \epsilon_0 \mu_0 \omega E_0) \sin(\kappa z - \omega t) = 0$$

$$\begin{cases} -\kappa E_0 + \omega B_0 = 0 \\ \kappa B_0 - \epsilon_0 \mu_0 \omega E_0 = 0 \end{cases}$$

$$\Rightarrow B_0 = \sqrt{\epsilon_0 \mu_0} E_0 = \frac{E_0}{C} > 0$$

$$Ex(z,t) = E_0 \cos(\kappa z - \omega t)$$

$$By(z,t) = B_0 \cos(\kappa z - \omega t)$$

で E_0, B_0, κ が "すべて" 正の定数のとき。

$\omega = C \kappa, B_0 = \frac{E_0}{C}, C = \frac{1}{\sqrt{\epsilon_0 \mu_0}}$ ならば "解" で、 z 軸の正の方向に進む波を表す。電磁波
波の速さ v は、 $v = \frac{\lambda}{T} = \frac{\omega}{\kappa} = C = \frac{1}{\sqrt{\epsilon_0 \mu_0}} = 2.998 \times 10^8 \text{ (m/s)}$ 光速

E_x と B_x を含む式でも同様に電磁波の解が構成できる。 $(Ex, By), (Ey, Bx)$; 2種の偏光
波の進む向きは $\vec{E} \times \vec{B}$ (Poynting ベクトルの向きと一致)

§4.6 交流回路

導体内部で電場が $\vec{E}(t) = \vec{E}_0 \sin \omega t$ と

時間変化しているとき、Ohmの法則より、

$$\vec{j}(t) = \sigma \vec{E}(t) = \sigma \vec{E}_0 \sin \omega t$$

変位電流の密度は、

$$\epsilon_0 \frac{\partial E(t)}{\partial t} = \epsilon_0 \omega \vec{E}_0 \cos \omega t$$

$\Rightarrow \omega \ll \frac{1}{L}$ ならば 变位電流は無視できる。

このような電流を準定常電流と呼ぶ。

普通の金属では $\sigma \approx 10^7 \text{ S/m}^2$ 程度、 $\epsilon_0 \approx 10^{-11} \text{ C}^2/\text{N}\cdot\text{m}^2$ より、 $\omega \ll 10^{18} \text{ s}^{-1}$

普通の交流では变位電流は無視できる。

(準定常電流 $I(t)$ がつくる磁場は Biot-Savart の法則を使って求められる。)

このとき回路を貫く磁束 $\Phi(t)$ は $I(t)$ に比例する。

$$\Phi(t) = L I(t)$$

誘導起電力 $\phi_{emf}(t)$ は、

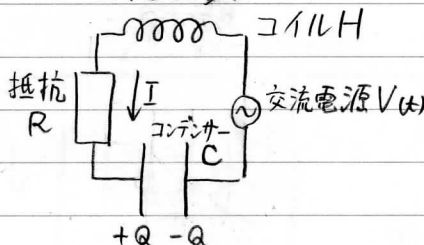
$$\phi_{emf}(t) = - \frac{d\Phi(t)}{dt} = - L \frac{dI(t)}{dt}$$

L :自己インダクタンス

(回路の形によって決まる)

単位: H(ヘンリー) $H = V \cdot s/A$

LCR回路



$$L \frac{dI(t)}{dt} + R I(t) + \frac{1}{C} Q(t) = V(t)$$

$$I(t) = \frac{dQ(t)}{dt} \text{ より},$$

$$L \frac{d^2Q(t)}{dt^2} + R \frac{dQ(t)}{dt} + \frac{1}{C} Q(t) = V(t)$$

これは減衰振動の方程式

$$m \frac{d^2x(t)}{dt^2} + \eta \frac{dx(t)}{dt} + kx(t) = f(t) \text{ と同じ形}$$

$V(t) = 0$ のときは $f(t) = 0$ の減衰振動に対応。